



# Převodový systém pohonu rotavátoru

## Bakalářská práce

*Studijní program:*

B2301 Strojní inženýrství

*Studijní obor:*

Strojní inženýrství

*Autor práce:*

**Karel Kryške**

*Vedoucí práce:*

prof. Ing. Lubomír Pešík, CSc.

Katedra částí a mechanismů strojů





## Zadání bakalářské práce

# Převodový systém pohonu rotavátoru

*Jméno a příjmení:* **Karel Kryške**  
*Osobní číslo:* S17000059  
*Studijní program:* B2301 Strojní inženýrství  
*Studijní obor:* Strojní inženýrství  
*Zadávací katedra:* Katedra částí a mechanismů strojů  
*Akademický rok:* **2019/2020**

### Zásady pro vypracování:

Navrhněte převodový systém pohonu rotavátoru pro motorovou jednotku zahradní techniky VARI.

Obsah bakalářské práce

1. Představení úkolu
2. Průzkum potencionálních řešení
3. Vypracování 3D sestavy pohonu, výkresové dokumentace sestavy vybraných dílů
4. Výpočtová zpráva
5. Ekonomické zhodnocení
6. Závěrečné zhodnocení

*Rozsah grafických prací:*  
*Rozsah pracovní zprávy:*  
*Forma zpracování práce:*  
*Jazyk práce:*

přílohy dle potřeby  
50  
tištěná/elektronická  
Čeština



### **Seznam odborné literatury:**

- [1] Pešík, L.: Části strojů. 1. díl. Liberec, TU 2005. ISBN 80-7083-938-4
- [2] Pešík, L.: Části strojů. 2. díl. Liberec, TU 2005. ISBN 80-7083-939-2
- [3] Moravec V.: Konstrukce strojů a zařízení 2. čelní ozubená kola. Vysoká škola báňská, Technická univerzita Ostrava, Fakulta strojní, 2001, 291 s.
- [4] Mrkvica I.: Současné trendy v obrábění ozubených kol. Vysoká škola báňská, Technická univerzita Ostrava, Fakulta strojní, 2011, 120 s.
- [5] Leinveber, J., Vávra, P.: Strojnické tabulky. Albra, Úvaly 2005. ISBN 80-736-01-6
- [6] Bureš M.: Návrh a pevnostní výpočet čelních a kuželových ozubených kol. Skriptum TU Liberec Ediční středisko 2006.
- [7] Normy pro návrh a pevnostní výpočet čelních a kuželových ozubených kol ČSN 014686-4 nebo ČSN ISO 6336-5 (014687) Výpočet únosnosti čelních ozubených kol s přímými a šikmými zuby – několik dílů, nebo ANSI/AGMA 20010B88, 2001-C95 nebo normou 2001-D04, nebo ANSI/AGMA 908-B89.
- [8] Normy pro mezní úchytky a tolerance ozubených kol a soukolí ČSN 014682 nebo novější ČSN ISO 1328-1 Čelní ozubená kola – Soustava přesnosti ISO a ČSN 01 4676 – Ozubená kola – Měření ozubených kol čelních se šikmými zuby.
- [9] Výpočetní programy AutoDESK- Mechsoft, KISS SOFT, MITCALc,
- [10] Databáze knihovny TUL

*Vedoucí práce:*

prof. Ing. Lubomír Pešík, CSc.  
Katedra částí a mechanismů strojů

*Datum zadání práce:*

12. února 2020

*Předpokládaný termín odevzdání:*

12. srpna 2021

prof. Dr. Ing. Petr Lenfeld  
děkan

L.S.

prof. Ing. Ladislav Ševčík, CSc.  
vedoucí katedry

## Prohlášení

Prohlašuji, že svou bakalářskou práci jsem vypracoval samostatně jako původní dílo s použitím uvedené literatury a na základě konzultací s vedoucím mé bakalářské práce a konzultantem.

Jsem si vědom toho, že na mou bakalářskou práci se plně vztahuje zákon č. 121/2000 Sb., o právu autorském, zejména § 60 – školní dílo.

Beru na vědomí, že Technická univerzita v Liberci nezasahuje do mých autorských práv užitím mé bakalářské práce pro vnitřní potřebu Technické univerzity v Liberci.

Užiji-li bakalářskou práci nebo poskytnu-li licenci k jejímu využití, jsem si vědom povinnosti informovat o této skutečnosti Technickou univerzitu v Liberci; v tomto případě má Technická univerzita v Liberci právo ode mne požadovat úhradu nákladů, které vynaložila na vytvoření díla, až do jejich skutečné výše.

Současně čestně prohlašuji, že text elektronické podoby práce vložený do IS/STAG se shoduje s textem tištěné podoby práce.

Beru na vědomí, že má bakalářská práce bude zveřejněna Technickou univerzitou v Liberci v souladu s § 47b zákona č. 111/1998 Sb., o vysokých školách a o změně a doplnění dalších zákonů (zákon o vysokých školách), ve znění pozdějších předpisů.

Jsem si vědom následků, které podle zákona o vysokých školách mohou vyplývat z porušení tohoto prohlášení.

16. července 2020

Karel Kryške

## **Poděkování**

Rád bych poděkoval vedoucímu bakalářské práce prof. Ing. Lubomíru Pešíkovi, CSc. za jeho odborné vedení, velmi vstřícný přístup, cenné rady a poznatky, které vedly k vypracování této práce. Dále bych chtěl poděkovat své rodině, která mě během studia podporovala.

## **Abstrakt**

Bakalářská práce se zabývá kompletním návrhem převodového ústrojí rotavátoru, s možností reverzace chodu a zvýšení výstupních otáček.

V teoretické části práce je obsažena stručná historie kultivátorů, jejich charakteristika a rozdělení podle funkce a konstrukce. Následuje výpočtová zpráva obsahující geometrické a pevnostní výpočty hlavních součástí převodového ústrojí, poslední část je pak věnována ekonomickému zhodnocení. Součástí práce je také kompletní 3D model sestavy ústrojí společně s jeho výkresovou dokumentací.

### **Klíčová slova:**

převodovka, kultivátor, rotavátor, pevnostní kontrola, ozubená kola, hřídele, ložiska

## **Abstract**

The bachelor thesis focuses on the complete design of the transmission system of rotavator with the possibility of increasing the output speed and reversing.

The theoretical part of the bachelor thesis briefly describes the history, characteristics of cultivators, and also their distribution regarding the function and design. The following section consists of a calculation report where the geometrical and strength computations of the core components of the transmission are performed. The last part summarizes the economical evaluation. Part of the thesis is a three-dimensional model of the transmission system with a technical drawing documentation.

### **Keywords:**

transmission, cultivator, rotavator, strength analysis, gears, shafts, bearings

# Obsah

Seznam použitých symbolů a zkratk .....	9
1. Úvod .....	15
1.1. Výběr tématu .....	15
1.2. Cíl práce.....	15
1.3. Řešení .....	15
2. Teorie kultivátorů .....	16
2.1. Charakteristika kultivátoru .....	16
2.2. Historie kultivátorů.....	16
2.3. Varianty kultivátorů.....	18
2.3.1. Průmyslové kultivátory.....	18
2.3.2. Zahradní kultivátory .....	19
3. Průzkum potencionálních řešení .....	21
3.1. Rotavátor .....	21
3.1.1. Parametry rotavátoru z průzkumu trhu .....	21
4. Vlastní konstrukce a výpočtová zpráva.....	23
4.1. Schéma převodového ústrojí rotavátoru .....	23
4.2. Spalovací agregát.....	24
4.3. Spojka .....	24
4.4. Převodové ústrojí.....	25
4.4.1. Převodové poměry .....	26
4.4.2. Otáčky hřídelů.....	27
4.4.3. Kroutící momenty .....	27
4.4.4. Návrhový výpočet kuželového soukolí s přímými zuby .....	28
4.4.5. Návrhový výpočet hlavního čelního soukolí se šikmými zuby .....	37
4.4.6. Návrhový výpočet urychlujícího čelního soukolí se šikmými zuby.....	44
4.4.7. Pevnostní kontrola hřídelů .....	51

4.4.8.	Návrh ložisek .....	61
4.4.9.	Kontrola spojů hřídelů a kol .....	65
4.4.10.	3D model převodového ústrojí .....	71
5.	Ekonomické zhodnocení .....	72
6.	Závěr.....	74
	Seznam použité literatury .....	75
	Seznam příloh .....	76
	Obsah příloženého CD: .....	76



## Seznam použitých symbolů a zkratek

**Značka    Jednotka    Název**

### **Pododdíly 4.4.1, 4.4.2, 4.4.3**

$i_s$	-	skutečný převodový poměr
$i_t$	-	teoretický převodový poměr
$M_k$	Nm	kroučící moment
$n$	min <sup>-1</sup>	otáčky
$P$	W	výkon
$z$	-	počet zubů pastorku, nebo kol

### **Pododdíly 4.4.4, 4.4.5, 4.4.6**

$a$	mm	osová vzdálenost soukolí
$a_n$	mm	osová vzdálenost náhradních kol
$b$	mm	šířka ozubení
$d$	mm	roztečný průměr ozubeného kola
$d_a$	mm	průměr hlavové kružnice ozubeného kola
$d_f$	mm	průměr patní kružnice ozubeného kola
$d_m$	mm	průměr střední roztečné kružnice ozubeného kola
$F_a$	N	axiální síla působící na kolo
$F_r$	N	radiální síla působící na kolo
$F_t$	N	obvodová síla působící na kolo
$F_{t1.1}$	N	obvodová síla působící v čelním řezu na roztečné kružnici odpovídající 1. stupni zatížení
$h_a^*$	mm	koeficient výšky hlavy kola
$i_s$	-	skutečný převodový poměr
$J_{HV}$	HV	tvrdost v jádře zubu
$K_A$	-	součinitel vnějších dynamických sil
$K_{AS}$	-	součinitel vnějších dynamických sil pro výpočet s ohledem na trvalou deformaci, vznik trhliny, nebo křehkého lomu
$K_{Fv}$	-	součinitel vnitřních dynamických sil
$K_{Fa}$	-	součinitel podílu zatížení jednotlivých zubů
$K_{F\beta}$	-	součinitel nerovnoměrnosti zatížení zubů po šířce

$K_H$	-	součinitel přídavných zatížení
$K_{Hv}$	-	součinitel vnitřních dynamických sil
$K_{H\alpha}$	-	součinitel podílu zatížení jednotlivých zubů
$K_{H\beta}$	-	součinitel nerovnoměrnosti zatížení zubů po jejich šířce
$M_k$	Nm	kroučící moment
$n$	min <sup>-1</sup>	otáčky
$m_e$	mm	čelní modul kuželového ozubení
$m_n$	mm	normálový modul ozubení
$m_t$	mm	čelní modul přímého ozubení se šikmými zuby
$P$	W	výkon
$p_n$	mm	normálová rozteč ozubeného kola
$p_{tb}$	mm	základní rozteč ozubeného kola
$p_t$	mm	čelní rozteč ozubeného kola
$R_e$	MPa	mez kluzu v tahu
$R_m$	MPa	mez pevnosti v tahu
$r_n$	mm	roztečný poloměr náhradního kola
$r_{na}$	mm	hlavový poloměr náhradního kola
$r_{nb}$	mm	základní poloměr náhradního kola
$R_{p0,2}$	MPa	smluvní mez kluzu odpovídající 0,2 % trvalé deformaci
$S_{Fmin}$	-	nejmenší hodnota součinitele bezpečnosti proti vzniku únavového lomu v patě zubu
$S_H$	-	bezpečnost proti tvorbě pittingů
$S_{Hmin}$	-	nejmenší hodnota součinitele bezpečnosti proti vzniku únavového lomu poškození boků zubů
$Y_{FS}$	-	součinitel tvaru zubů a koncentrace napětí
$Y_\beta$	-	součinitel sklonu zubů
$Y_\epsilon$	-	součinitel vlivu záběru profilu
$V_{HV}$	HV	tvrdost na boku zubů pastorku, nebo kola
$z$	-	počet zubů pastorku, nebo kol
$Z_E$	-	součinitel mechanických vlastností materiálu
$Z_H$	-	součinitel tvaru spoluzabírajících zubů
$z_{pmin}$	-	praktický minimální počet zubů
$Z_R$	-	součinitel výchozí drsnosti boků zubů (před záběhem)

$Z_\varepsilon$	-	součinitel součtové délky dotykových křivek boku zubů
$\alpha$	°	záběrový úhel soukolí
$\alpha_n$	°	normálový záběrový úhel soukolí
$\alpha_t$	°	čelní záběrový úhel soukolí
$\beta$	°	úhel sklonu zubů šikmého ozubení
$\delta$	°	úhel roztečného kužele
$\delta_a$	°	úhel hlavového kužele
$\delta_f$	°	úhel patního kužele
$\Sigma$	°	úhel mezi osami kuželových kol
$\varepsilon$	-	součinitel trvání záběru
$\varepsilon_\alpha$	-	součinitel trvání záběru závislý na záběrovém úhlu
$\varepsilon_\beta$	-	součinitel trvání záběru závislý na sklonu zubů
$\sigma_F$	MPa	ohybové napětí v kritickém průřezu paty zubu
$\sigma_{Flimb}$	MPa	mez únavy v ohybu
$\sigma_{Fmax}$	MPa	největší místní ohybové napětí v patě zubu vzniklé působením síly $F_{t1}$
$\sigma_{FP}$	MPa	přípustné napětí v ohybu zubu
$\sigma_{FPmax}$	MPa	přípustné napětí v ohybu zubu při největším zatížení silou $F_{t1}$
$\sigma_{FSI}$	MPa	pevnost v ohybu při největším zatížení
$\sigma_H$	MPa	napětí v dotyku (Hertzův tlak) ve valivém bodě
$\sigma_{Hlim}$	MPa	mez únavy v dotyku zubů
$\sigma_{Hmax}$	MPa	největší napětí v dotyku vzniklé působením síly $F_{t1}$
$\sigma_{HO}$	MPa	napětí v dotyku při ideálním zatížení přesných zubů
$\sigma_{HP}$	MPa	přípustné napětí v dotyku zubů (přípustný Hertzův tlak)
$\sigma_{HPmax}$	MPa	přípustné napětí v dotyku zubů při největším zatížení silou $F_{t1}$
$\psi_d$	-	součinitel šířky ozubení vztažený ke střednímu průměru
$\psi_m$	-	součinitel šířky ozubení vztažený ke střednímu modulu
$\psi_L$	-	součinitel šířky ozubení vztažený k délce površky roztečného kužele

### Pododdíl 4.4.7

$a$	mm	charakteristický rozměr pro hřídel
$b$	mm	charakteristický rozměr pro hřídel
$c$	mm	charakteristický rozměr pro hřídel
$d$	mm	charakteristický rozměr pro hřídel
$d_{in}$	mm	vnitřní průměr hřídele
$d_o$	mm	vnější průměr hřídele
$d_{min}$	mm	minimální průměr hřídele
$e$	mm	charakteristický rozměr pro hřídel
$F_a$	N	axiální síla působící na kolo
$F_r$	N	radiální síla působící na kolo
$F_t$	N	obvodová síla působící na kolo
$k_c$	-	celková bezpečnost
$k_{PP}$	-	požadovaná bezpečnost
$k_\sigma$	-	bezpečnost v ohybu
$k_\tau$	-	bezpečnost v krutu
$M_o$	Nm	celkový ohybový moment
$M_{omax}$	Nm	maximální ohybový moment
$M_{oy}$	Nm	ohybový moment ve směru osy y
$M_{oz}$	Nm	ohybový moment ve směru osy z
$R_e$	MPa	mez kluzu v tahu
$R_m$	MPa	mez pevnosti v tahu
$R_{p0,2}$	MPa	smluvní mez kluzu odpovídající 0,2 % trvalé deformace
$R_r$	N	reakce v radiálním směru
$R_x$	N	reakce ve směru osy x
$R_y$	N	reakce ve směru osy y
$R_z$	N	reakce ve směru osy z
$\sigma_{co}^*$	MPa	mez únavy materiálu
$\sigma_o$	MPa	napětí v ohybu
$\tau_k$	MPa	napětí v krutu
$\tau_{kk}$	MPa	mez kluzu ve smyku

### Pododdíl 4.4.8

$C$	N	dynamická únosnost ložiska
$C_0$	N	statická únosnost ložiska
$e$	-	výpočtový součinitel ložiska
$F_A$	N	maximální axiální síla působící na ložisko
$F_R$	N	maximální radiální síla působící na ložisko
$L_h$	hod	vypočítaná trvanlivost ložiska
$L_P$	hod	požadovaná trvanlivost ložiska
$n$	$\text{min}^{-1}$	maximální otáčky vnitřního kroužku ložiska
$P$	N	ekvivalentní dynamické zatížení
$R_r$	N	radiální síla v místě ložiska
$R_x$	N	axiální síla v místě ložiska
$X$	-	výpočtový součinitel pro radiální sílu
$Y$	-	výpočtový součinitel pro axiální sílu
$Y_0$	-	doplňkový výpočtový součinitel pro axiální sílu

### Pododdíl 4.4.9.1

$d_2$	mm	roztečný průměr závitu
$d_i$	mm	nejmenší průměr kužele
$d_o$	mm	největší průměr kužele
$D_o$	mm	průměr nákrůžku matice
$D_p$	mm	třecí roztečný průměr
$d_s$	mm	střední průměr kužele
$d_z$	mm	maximální průměr závitu
$f$	-	součinitel smykového tření v závitu
$f_p$	-	součinitel smykového tření mezi maticí a nábojem
$F_Q$	-	předpětí ve šroubovém spoji
$k_w$	-	bezpečnost přenosu kroutícího momentu
$l$	mm	délka kužele
$M_k$	Nm	kroutící moment
$M_u$	Nm	utahovací moment
$P$	mm	stoupání závitu
$p_{min}$	MPa	minimální tlak ve styčné ploše kužele
$\gamma$	°	úhel stoupání závitu

$\delta$	°	poloviční vrcholový úhel kužele
$\varphi'$	°	třecí úhel v závitě

#### **Pododdíl 4.4.9.2, 4.4.9.4, 4.4.9.5**

$d$	mm	průměr hřídele v místě umístění spoje pera a drážky
$h$	mm	výška pera
$l_{min}$	mm	minimální délka pera
$l_p$	mm	účinná délka pera
$l_{pmax}$	mm	maximální účinná délka pera
$M_k$	Nm	kroučící moment
$p$	MPa	tlak ve styčné ploše spoje
$p_D$	MPa	dovolený tlak

#### **Pododdíl 4.4.9.3**

$d$	mm	vnitřní průměr drážkování
$D$	mm	vnější průměr drážkování
$f'$	mm <sup>2</sup>	účinná plocha všech drážek na jednotku délky náboje
$l$	mm	délka drážkování
$M_k$	Nm	kroučící moment
$p$	MPa	tlak ve styčné ploše spoje
$p_D$	MPa	dovolený tlak

#### **Pododdíl 4.4.9.6, 4.4.9.7**

$d_F$	mm	průměr na kterém působí zatěžující síla
$i$	-	počet zubů spojky
$M_k$	Nm	kroučící moment
$p$	MPa	tlak ve styčné ploše spoje
$p_D$	MPa	dovolený tlak
$S_{Smyk}$	mm <sup>2</sup>	plocha 1 zubu namáhaná na smyk
$S_{Styk}$	mm <sup>2</sup>	styková plocha 1 zubu spojky
$\tau_D$	MPa	dovolené napětí ve smyku
$\tau_S$	MPa	napětí ve smyku

# **1. Úvod**

## **1.1. Výběr tématu**

Z rozličných dostupných možností bylo zvoleno převodové ústrojí rotavátoru. Tento zemědělský stroj má funkci kypření půdy a zvyšuje účinnost hnojení před setím, nebo sázením. Jeho hlavní výhodou je mobilita a snadné ovládání. Rotavátor je konstrukčně velmi jednoduchý, jelikož se skládá z rámu stroje, benzínového agregátu, převodového ústrojí, lopatek a opěrného kola.

## **1.2. Cíl práce**

Cílem práce je konstrukční návrh převodového ústrojí rotavátoru s možností reverzace chodu a zvýšení výstupních otáček. Všechny jednotlivé součásti musí splňovat vyrobiteľnosť pomocí konvenčních metod obrábění, nebo odlévání. Musí také pevnostně splňovat danou bezpečnost a provozní životnost.

## **1.3. Řešení**

Úvod práce se zabývá charakteristikou, historií a základními typy kultivátorů. Následující část se zabývá průzkumem potenciálních řešení této problematiky. Následuje konstrukční návrh a výpočet, který se zabývá pevnostním návrhem a kontrolou důležitých komponentů převodového ústrojí. Pomocí tohoto ústrojí je dosažen požadavek na reverzaci chodu a zvýšení výstupních otáček. V konečné části práce je uvedeno ekonomické zhodnocení a závěr.

## **2. Teorie kultivátorů**

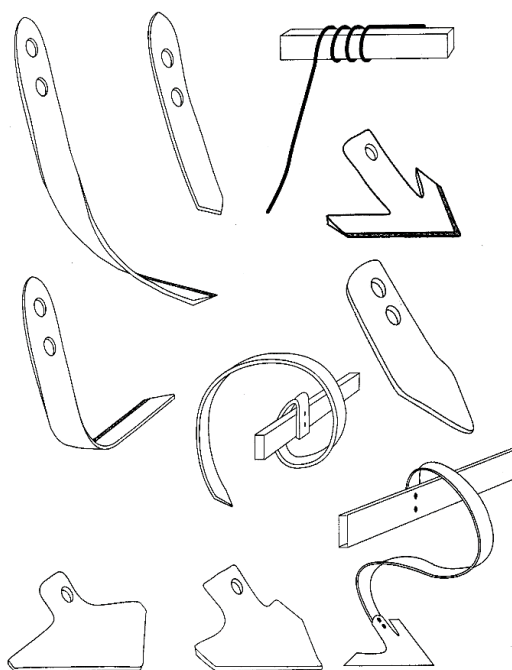
### **2.1. Charakteristika kultivátoru**

Kultivátorem je rozuměno jednoúčelové strojní zařízení, jež slouží k promíchání a rozmělnění půdy před setím, nebo sázením, anebo poté, co již začaly plodiny růst. Půda je nakypřována pomocí takzvaných zubů (hrotů), které proráží půdu pomocí buď lineárního, nebo rotačního pohybu. Tyto zuby nevnikají do velké hloubky a jejich hlavním účelem je hubení plevelu. Lineárního pohybu je dosaženo tažením zařízení po zemědělské půdě. K tažení zařízení se využívá tažné zvíře, nebo se zapojí zemědělské motorové vozidlo. Rotační pohyb může být docílen pomocí vlastního pohonu (spalovací agregát), nebo pomocí připojení k vývodové hřídeli taženého vozidla.

### **2.2. Historie kultivátorů**

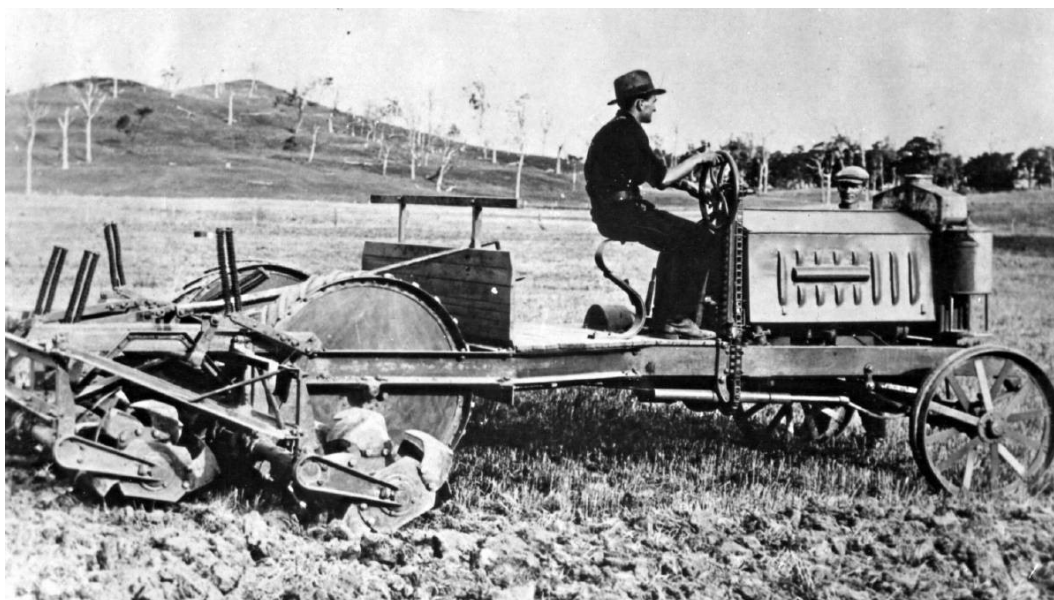
Základní idea hubení plevelu kopáním do půdy s využitím motyk, krumpáčů, anebo pomocí pluhů byla prokazatelně zrealizována 8000 let př. n. l. Tyto nástroje byly užívány až do 18. století n.l., kdy Jethro Tull vynalezl secí stroje a kultivační nástroje. Ve skutečnosti však podobné nástroje používali již staří Římané, a také obyvatelé území nynější Indie, a to již před 2000 lety. K rozšíření těchto starověkých nástrojů však nikdy nedošlo, především kvůli dostupné lidské pracovní síle. Díky Tullovi se nástroje během 18. století rozšířily po celé Evropě a Severní Americe, a také položily základy takzvané Britské zemědělské revoluci. Hlavní účel secího stroje bylo sázení plodin do uspořádaných řad. Před jeho vynalezením byly plodiny sázeny ručně, kvůli čemuž byly nerovnoměrně rozptýlené po celém poli. To zapříčiňovalo, že rolníci museli dávat pozor, aby nepoškodili plodiny během plení.





Obr. 2.2 Jedny z prvních kultivační nástrojů [1]

Kultivační nástroje byly základem pro odstraňování plevelu po následující 3 staletí. Tyto nástroje využívající zvířata, a později traktory, se staly velmi rozmanité a specializované. Na Obr. 2.1 lze vidět některé z nich, jako jsou nože, radlice, hřbové brány a podmítače, které byly vytvořeny pro plení plodin. Některé specializované nástroje byly vynalezeny v Kalifornii, jedná se především o: flexibilní radličkové brány, tyčové kultivátory, či o příkopovou frézu. Tyto nástroje sklidily veliký úspěch a jejich rozvoj byl význačný.



Obr. 2.1 Jeden z prvních prototypů kultivátoru [2]

První strojně poháněná rotační motyka byla vynalezena Arthurem Cliffordem Howardem roku 1912. Původně byl tento prototyp poháněn parním traktorem a zeminu odhazoval do strany. Později svůj vynález zdokonalil a r. 1919 si nechal patentovat rotační motyku s pěti kultivačními čepelemi a spalovacím agregátem (Obr. 2.2). Mezitím ve 20. letech 20. století začali farmáři vynalézat a testovat rozličné typy zemědělských strojů označovaných jako strojně poháněné kultivátory. Tyto stroje ovšem byly pouze modifikovanou verzí kultivátorů určených pro tažení zvířecí (koňskou) silou s přidaným agregátem pro pohon lopatek. Během tohoto období bylo také zkombinováno motorizované kultivování s tažnou silou, čímž vznikl první traktor s názvem Farmall.

## **2.3. Varianty kultivátorů**

### **2.3.1. Průmyslové kultivátory**

V dnešní době se průmyslové kultivování provádí především komerčně, obvykle jsou využívány stroje poháněné traktory. Kultivátory pro průmyslové použití se mezi sebou mohou lišit, především dochází k rozdílům ve tvaru a velikosti (šíře se pohybuje od 3 do 24 metrů). Většina z nich je opatřena hydraulickým sklápěním, které zajišťuje jednodušší a bezpečnější přepravu po silničních komunikacích. Kultivátory mohou být tažené za traktorem prostřednictvím oje, zavěšené na třibodovém závěsu, nebo namontované na rámu pod traktorem. Aktivní kultivátory potřebují pro svou funkci pohon, ten lze přivést pomocí vývodového hřídele z traktoru. Tyto kultivátory se především používají pro primární zpracování půdy. Pro největší z nich se vyžaduje, aby měl traktor pro jejich pohon navíc alespoň 150 koňských sil.

Polní kultivátory se používají pro dokončovací zpracování půdy na nejrůznější typy plodin. Jejich hlavní funkcí je příprava vhodného podloží pro sázenou plodinu, zakopání zbytků předchozích plodin do země, hubení plevelu a promíchání půdy, díky čemuž má plodina dostatek vody a živin, potřebných pro růst, během vegetačního období. Tento stroj má na spodní straně mnoho hřebů, jež vyhlazují povrch půdy pro usnadnění cesty traktoru při sázení. Hloubku zpracování půdy ve většině případů řídí jeden, případně i více hydraulických válců.

### **2.3.1.1. Řadové kultivátory**

Hlavní funkcí těchto kultivátorů je hubení plevelu mezi řadami zasazené plodiny. Jejich zdvihání a snižování je prováděno prostřednictvím třibodového závěsu a hloubka je řízena kalibračními koly. Skládají se ze dvou středových lopatek, které odřezávají plevel od kořenů a obracejí půdu. Zadní část kultivátoru má za úkol vymetat plevel ven poté, co středové lopatky vykonají svou práci. Šířka tohoto kultivátoru může být od 1 do 36 řad.

### **2.3.2. Zahradní kultivátory**

Jedná se o malé kultivační stroje, které se používají v domácnosti, nebo v malých komerčních zahradách. Mohou poskytnout primární i sekundární zpracování půdy. Většina těchto kultivátorů jsou tlačené člověkem.

#### **2.3.2.1. Rotační kypřič**

Rotační kypřiče jsou druhem zahradních kultivátorů oblíbené domácími zahrádkáři, kteří vlastní velké zahrádky. Mohou se využít před výsadbou plodiny na několikeré obdělání půdy. Malé rotační kypřiče jsou poháněny spalovacími agregáty (o výkonu 1 až 5 koňských sil), jimiž se také pohání lopatky kultivačního zařízení. Pro snadnější pohyb mají malá transportní kolečka, ta ovšem nejsou poháněná. Pro zamezení příliš rychlého pohybu vpřed je těsně za lopatkami umístěn nastavitelný hrot, jenž svým třením o hlubší neobdělanou půdu působí jako brzda, která zpomaluje stroj a umožňuje souměrné rozmělnění půdy. Obsluha stroje může regulovat rychlost zvedáním (pokud usiluje o zrychlení), nebo snižováním (chce-li dosáhnout zpomalení) řídítek kypřiče.

Rotační kypření je mnohem rychlejší než manuální obdělávání, ale zároveň je vyčerpávající a obtížné, zejména u těžších, výkonnějších strojů. Pokud se lopatky zaseknou na lehce přehlédnutelných překážkách, mezi něž mohou patřit kořeny, zakopané odpadky atd., může dojít k nepředvídatelnému pohybu zařízení.

### **2.3.2.2. Rotavátor**

Na rozdíl od rotačního kypřiče je rotavátor vybaven vlastním pohonem a převodovkou, která přenáší výkon na kola, jež pohání stroj kupředu. Převodovka umožňuje nastavení rychlosti jízdy vpřed, přičemž zachová konstantní rychlost otáčení lopatek, což umožňuje regulovat rozsah, v jakém je půda zpracována. Pro dvoukolový rotavátor dochází k výraznému snížení pracovního zatížení obsluhy ve srovnání s rotačním kypřičem. Jsou ovšem obecně těžší a mají vyšší výkon (4 až 18 koňských sil), díky kterému mohou pokrýt mnohem více plochy za hodinu. Rotavátor je ochranná známka firmy Howard Rotavator, Ltd.

### **2.3.2.3. Mini kultivátor**

Mini kultivátory jsou poměrně nové a jsou především používány farmáři nebo zahrádkáři s menšími zahrádkami. Jsou kompaktní, výkonné, ale především levné. O jejich pohon se stará elektromotor a často jsou jimi nahrazovány čtyřkolové traktory v malých polích rozvojových zemí, neboť jsou ekonomičtější.

### **2.3.2.4. Dvoukolový traktor**

Rotavátory s vyššími výkony se často zařazují do této kategorie. Slouží především pro zemědělské účely v Asii, Africe, anebo Jižní Americe. Jsou schopny obdělat 1 hektar půdy za 8 až 10 hodin. Dříve se používaly pro pěstování rýže, ale nyní se používají po celém světě. Mají mnoho funkcí s nástroji pro suchou půdu, rýžová pole či pro rozprašování pesticidů. Lze je použít v jakémkoliv terénu.

### 3. Průzkum potencionálních řešení

#### 3.1. Rotavátor

Rotavátorem rozumíme zemědělské strojní zařízení, které slouží převážně pro kultivaci půdy, neboli pro mechanickou úpravu půdy před setím nebo během vegetačního období. Cílem kultivace je prokypření povrchové vrstvy ornice (úrodné půdy), čímž dochází k provzdušnění a zamezení vypařování vody. Tento proces je vykonáván pomocí rotačního pohybu lopatek. Existuje mnoho typů těchto strojů, jejich hlavní rozdíly spočívají v technických parametrech, jako je výkon, maximální hloubka kypření, šíře záběru a různé konstrukční nebo ergonomické prvky. Rotavátory jsou převážně určeny pro drobné zahrádkáře.

Konstrukce tohoto zemědělského strojního zařízení je velice jednoduchá a umožňuje ovládání stroje během provozu bez zastavení pomocí bowdenového systému. Je vybaven pojezdovým kolečkem, brzdící radlicí a mezi jeho bezpečnostní prvky patří krycí plechy i boční ochranné disky, které ochraňují obsluhu stroje. Pro pohodlnost lze u většiny rotavátorů výškově nastavit říditka. Pro práci s tímto strojem není nutné žádné proškolení, avšak je nutné si přečíst manuál k obsluze a dodržovat bezpečnostní předpisy pro používání.

##### 3.1.1. Parametry rotavátoru z průzkumu trhu

Jedná se o rotační kypřič (rotavátor) VARI KF-140 (*Obr. 3.1*)



*Obr. 3.1 Rotační kypřič VARI KF-140 [3]*

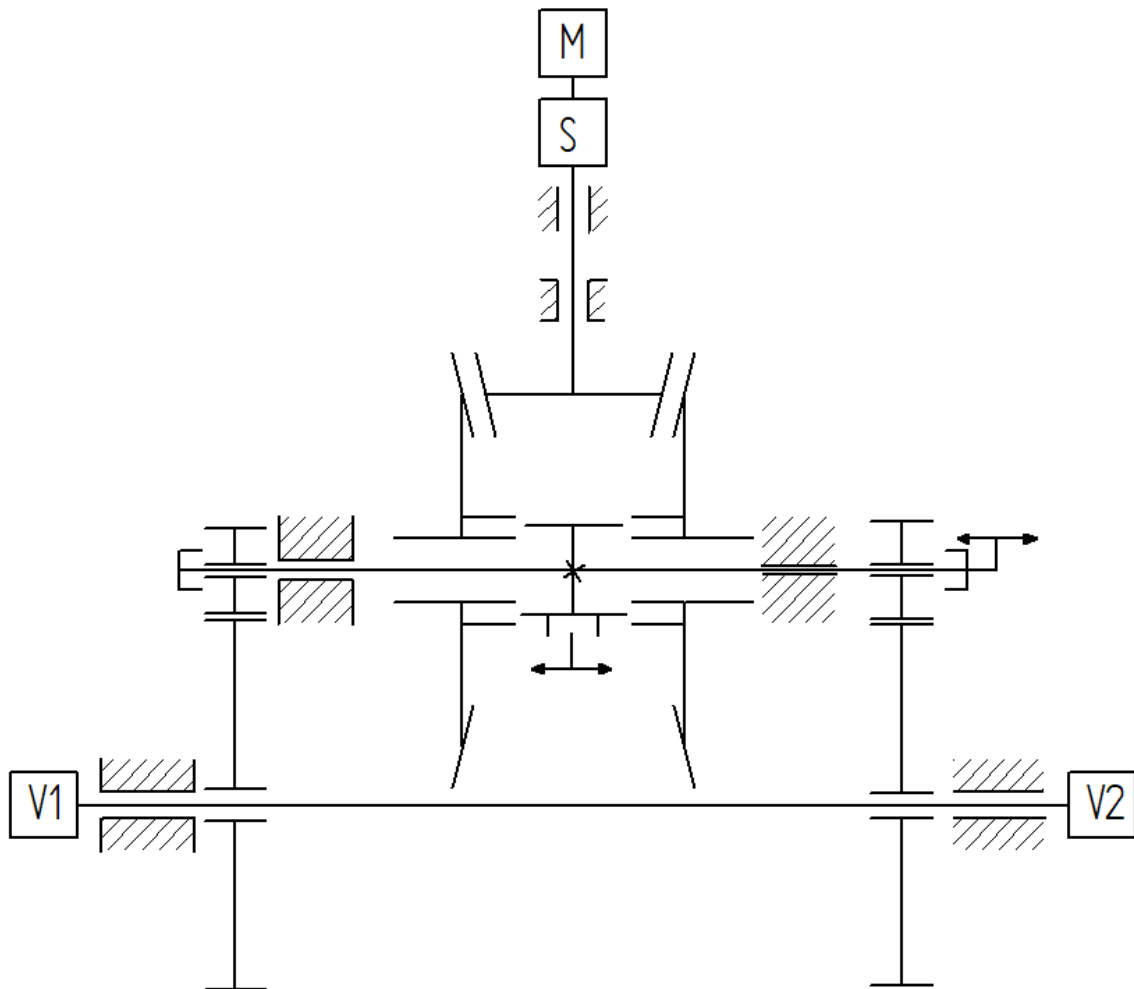
Cena tohoto rotavátoru (viz obrázek) je 8990,- Kč, jeho technické parametry jsou uvedeny v tabulce (Tab. 3.1), kde můžete číst, že používá spalovací agregát VARI XP-140, který je výchozí pro tuto bakalářskou práci, tudíž právě tento stroj je hlavním konkurentem. Pro přenos výkonu ze spalovacího agregátu k lopatkám je použita kuželová spojka v kombinaci se šnekovou převodovkou s olejovou náplní. Navrhované převodové ústrojí však bude komplikovanější a dražší, za to však bude disponovat vyšší produktivitou a snadnější manipulací.

Tab. 3.1 Technické parametry Rotačního kypříče VARI KF-140 [3]

<b>Rotační kypříč VARI KF-140</b>	
<b>Typ motoru</b>	VARI XP-140
<b>Výkon motoru</b>	2,2 kW
<b>Otáčky motoru</b>	3600 min <sup>-1</sup>
<b>Otáčky kultivačních nožů</b>	150 až 180 min <sup>-1</sup>
<b>Šíře záběru</b>	60 cm
<b>Typ spojky</b>	kuželová
<b>Typ převodovky</b>	šneková
<b>Počet rychlostních stupňů vpřed/vzad</b>	1
<b>Nastavení řídítek</b>	výškově
<b>Hmotnost</b>	35 kg

## 4. Vlastní konstrukce a výpočtová zpráva

### 4.1. Schéma převodového ústrojí rotavátoru



Obr. 4.1 Schéma převodového ústrojí rotavátoru

M... Spalovací agregát

S... Rozběhová spojka

V1, V2 ... výstupy z převodového ústrojí

## 4.2. Spalovací agregát

Spalovací agregát je tepelný stroj sloužící k přeměně chemické energie uložené v palivu na mechanickou práci. Pro konstrukci pohonu rotavátoru byl zvolen agregát od firmy VARI model XP-140 z důvodu kompaktnosti, a také dlouhé životnosti. Jeho technické parametry jsou uvedeny v tabulce (Tab. 4.1). Běžně se používá převážně pro zahradní techniku, právě proto je vhodný.

Tab. 4.1 Hlavní konstrukční parametry agregátu firmy VARI model XP-140 [4]

Hlavní konstrukční parametry	
Uspořádání ventilů	OHV
Počet válců	1
Průměr válce [mm]	65
Zdvih válce [mm]	42,5
Celkový zdvihový objem motoru [ml]	141
Kompresní poměr	8,5:1
Maximální výkon [kW/ot·min <sup>-1</sup> ]	2,2/3600
Směr otáčení	Proti směru hodinových ručiček (od konce setrvačnicku)
Úhel předstihu zážehu [°]	18° ± 2°
Vůle sacího ventilu [mm]	0,10 – 0,15
Vůle výfukového ventilu [mm]	0,15 – 0,20
Vzdálenost elektrod zapalovací svíčky [mm]	0,7 ± 0,1

## 4.3. Spojka

Pro souosé spojení hřídelů slouží hřídelové spojky. Tyto spojky vytváří mezi hřídeli rotační vazbu, která umožňuje přenos kroutícího momentu. Tato vazba může být třecí, tvarová, pružná, elektromagnetická, hydraulická apod. Mohou mít různé funkce, jako například přerušování přenosu kroutícího momentu a jeho opětovné vytvoření, pojištění proti přetížení zařízení, snížení dynamických momentů, nebo tlumení momentových rázů.

Pro toto ústrojí je vybrána rozběhová spojka.



#### 4.4. Převodové ústrojí

Je strojní zařízení sloužící k převodu kroutícího momentu mezi hnacím a hnaným strojem. Mění rotační pohyb na hnacím členu na rotační pohyb hnaného členu s obecně rozdílnou úhlovou rychlostí a kroutícím momentem. Skládá se z mnoha součástí, které jako celek tvoří strojní zařízení.

Hřídele jsou jednou z nejdůležitějších součástí tohoto ústrojí. Hřídel je rotační součást, jejíž průměr je daleko menší než jeho délka a slouží k přenosu kroutícího momentu z jednoho konce na druhý. Obvykle jsou na hřídeli namontovány jiné součásti (ozubená kola, ložiska apod.), které se s ní otáčejí se stejnou obvodovou rychlostí. Často jsou uloženy do rámu stroje pomocí ložisek, jež svou konstrukcí snižují tření mezi hřídelí a rámem stroje.

Ozubená kola tvoří další důležitou část ústrojí. Ozubené kolo je strojní součást sloužící k převodu rotačního pohybu a mechanické energie z jednoho hřídele na druhý pomocí tvarového styku boků zubů. Boky těchto zubů jsou tvořeny evolventou, neboli křivkou, která vznikne odvalováním tvořící přímky po základní kružnici. Tato křivka umožňuje odvalování 2 protilehlých zubů stejných parametrů (záběrový úhel a modul). Spoluzabírající kola nazýváme ozubené soukolí.

Ozubená kola a hřídele jsou spojeny pomocí pevných spojů. V této práci byly zvoleny kombinace spojení pomocí pera a drážky, drážkování a kuželového svěrného spoje. Spoj pero–drážka umožňuje pouze přenos kroutícího momentu, ale nezachycuje axiální sílu. Pero má tvar zaobleného kvádra, který se vsazuje do drážky vytvořené jak v hřídeli, tak v náboji (ozubené kolo, řemenice apod.). Tvary a rozměry těchto součástí jsou normalizovány. Spoje drážkováním spojují hřídele a náboje tvarovou vazbou vnějšího drážkování hřídele a vnitřního drážkování náboje. Slouží výhradně pro přenos kroutícího momentu - tvary drážkování jsou také normalizovány. Svěrné spoje jsou realizovány na základě vytvoření tlaku mezi stykovými plochami spojovaných součástí. U kuželového svěrného spoje je tlaku dosaženo pomocí vtahování kuželové části hřídele v oblasti pružných deformací do souhlasné kuželové díry náboje. K přenosu momentu dochází přes třecí silový účinek na kuželové styčné ploše. Toto spojení je vhodné pro dodržení přesných geometrických tolerancí.

Převodová skříň je další důležitou součástí převodového ústrojí. Ve většině konstrukcí je navržena jako odlitek, jenž je obroben na požadovaných místech a utěsněn pomocí vík, nebo těsnění. Tento způsob je vhodný pro sériovou a hromadnou výrobu.

Převodovou skříň lze navrhnout také jako svařenec, avšak během svařování vzniká nepříznivé pnutí, které způsobuje nepříznivé namáhání hřídelů. Pro tuto práci byla zvolena převodová skříň odlitá z hliníkové slitiny z důvodu nízké hmotnosti, ceny, a také teoretické následné sériové či hromadné výroby. Spojení převodové skříně a vík je provedeno pomocí šroubů s válcovou hlavou a vnitřním šestihranem dle normy DIN 912. Skříň je utěsněna těsnícími pryžovými O-kroužky a kruhovým těsnícím profilem podle normy DIN 3771.

#### 4.4.1. Převodové poměry

Převodový poměr je poměr mezi úhlovou rychlostí výstupního hřídele a úhlovou rychlostí vstupního hřídele. Dá se také vyjádřit jako poměr kroutícího vstupního a výstupního momentu.

Vstupní otáčky jsou ideální otáčky spalovacího motoru  $n_{sm} = 3600 \text{ min}^{-1}$ . Požadovaný teoretický převodový poměr pro ideální funkci rotavátoru je  $i_{tp1} = 20$  a pro regulaci otáček (pro rychlejší funkci) byl zvolen teoretický převodový poměr  $i_{tp2} = 14$ .

##### Volba teoretických dílčích převodových poměrů

Pro kuželové soukolí bylo zvoleno teoretické převodové číslo  $i_{tk} = 4$ , pro hlavní čelní soukolí  $i_{tč1} = 5$  a pro redukční čelní soukolí  $i_{tč2} = 3,5$ .

##### Volba počtu zubů převodů

Pro výpočet skutečných převodových poměrů je nutné zvolit počty zubů převodových stupňů. Pro kuželové soukolí byl zvolen počet zubů pastorku  $z_1 = 14$  a počet zubů kola  $z_2 = 57$ , pro hlavní čelní soukolí  $z_3 = 16$  a  $z_4 = 79$  a pro redukční čelní soukolí  $z_5 = 20$  a  $z_6 = 69$

##### Skutečný převodový poměr kuželového soukolí

$$i_{sk} = \frac{z_2}{z_1} = \frac{57}{14} = 4,0714 \quad (4.1)$$

##### Skutečný převodový poměr hlavního čelního soukolí se šikmými zuby

$$i_{sč1} = \frac{z_3}{z_4} = \frac{79}{16} = 4,938 \quad (4.2)$$

##### Skutečný převodový poměr redukčního čelního soukolí se šikmými zuby

$$i_{sč2} = \frac{z_5}{z_6} = \frac{69}{20} = 3,450 \quad (4.3)$$

## Výpočet skutečných převodových poměrů

$$i_{sp1} = i_{sk} \cdot i_{sč1} = 4,0714 \cdot 4,938 = 20,1046 \quad (4.4)$$

$$i_{sp2} = i_{sk} \cdot i_{sč2} = 4,0714 \cdot 3,450 = 14,0463 \quad (4.5)$$

### 4.4.2. Otáčky hřídelů

Pro správné určení namáhání hřídelů a pro výpočet ložisek je nutné určit skutečné otáčky hřídelů.

#### Otáčky vstupního hřídele

$$n_1 = n_{sp} = 3600 \text{ min}^{-1} \quad (4.6)$$

#### Otáčky předlohového hřídele

$$n_2 = \frac{n_1}{i_{sk}} = \frac{3600}{4,0714} = 884,22 \text{ min}^{-1} \quad (4.7)$$

#### Otáčky výstupního hřídele

$$n_3 = \frac{n_2}{i_{sč1}} = \frac{884,22}{4,938} = 179,06 \text{ min}^{-1} \quad (4.8)$$

#### Zvýšené otáčky výstupního hřídele

$$n_{3r} = \frac{n_2}{i_{sč2}} = \frac{884,22}{3,450} = 256,30 \text{ min}^{-1} \quad (4.9)$$

### 4.4.3. Kroutící momenty

Jedná se o vektorovou fyzikální veličinu, jež vyjadřuje míru otáčivého účinku síly. Otáčivý účinek síly se vztahuje k danému bodu, nebo přímce. Je definován jako vektorový součin síly a kolmé vzdálenosti osy síly. Kroutící moment je velmi důležitý, obzvláště kvůli tomu, že způsobuje torzní namáhání hřídelů, a tudíž je nutné dimenzovat hřídele tak, aby s určitou bezpečností torznímu namáhání odolaly. Tyto momenty lze vypočítat z mechanické energie rotačního pohybu.

#### Moment na vstupním hřídeli

$$M_{k1} = \frac{60 \cdot P}{2 \cdot \pi \cdot n_1} = \frac{60 \cdot 2200}{2 \cdot \pi \cdot 3600} = 5,84 \text{ Nm} \quad (4.10)$$

### Moment na předlohovém hřídeli

$$M_{k2} = \frac{60 \cdot P}{2 \cdot \pi \cdot n_2} = \frac{60 \cdot 2200}{2 \cdot \pi \cdot 884,22} = 23,76 \text{ Nm} \quad (4.11)$$

### Moment na výstupním hřídeli

$$M_{k3} = \frac{60 \cdot P}{2 \cdot \pi \cdot n_3} = \frac{60 \cdot 2200}{2 \cdot \pi \cdot 179,06} = 117,33 \text{ Nm} \quad (4.12)$$

### Redukovaný moment na výstupním hřídeli

$$M_{k3r} = \frac{60 \cdot P}{2 \cdot \pi \cdot n_{3r}} = \frac{60 \cdot 2200}{2 \cdot \pi \cdot 256,30} = 81,97 \text{ Nm} \quad (4.13)$$

## 4.4.4. Návrhový výpočet kuželového soukolí s přímými zuby

Pro převodové ústrojí bylo zvoleno kuželové soukolí s přímými zuby, především kvůli požadavkům na reverzaci chodu.

Materiálové vlastnosti tohoto soukolí byly zvoleny vzhledem k namáhání kuželového soukolí způsobeném spalovacím agregátem a dle povahy rotavátoru. Byla zvolena ocel 16 526, která se používá pro více namáhaná ozubená kola.

Tab. 4.2 Materiálové vlastnosti kuželového soukolí [10]

Kuželové soukolí	
<b>Materiál</b>	16 526 [Označení ČSN]
<b>Tepelné zpracování</b>	Cementováno + kaleno
<b><math>\sigma_{Flimb}</math></b>	740 [MPa]
<b><math>\sigma_{Hlim}</math></b>	1330 [MPa]
<b><math>R_e</math> nebo <math>R_{p0,2}</math></b>	885 [MPa]
<b><math>R_m</math></b>	1130 [MPa]
<b><math>V_{HV}</math></b>	650 až 700 [HV 3]
<b><math>J_{HV}</math></b>	360 [HV]

#### 4.4.4.1. Geometrie kuželového soukolí

##### Minimální normálový modul kuželového soukolí

Pro soukolí s tvrzenými boky zubů platí tento vztah [8].

$$m_{nmin} = 1,85 \cdot \sqrt[3]{\frac{M_{k1} \cdot \cos^2 \beta_k}{z_1^2 \cdot \psi_d \cdot \sigma_{Flimb}}} = 1,85 \cdot \sqrt[3]{\frac{5,84 \cdot \cos^2 0^\circ}{14^2 \cdot 0,86095 \cdot 740000000}} \quad (4.14)$$
$$= 0,666 \text{ mm}$$

$\psi_d = 0,86095$  je zvolený součinitel šířky ozubení vůči střednímu roztečnému průměru  $\beta_k = 0^\circ$  (jedná se o přímé ozubení).

##### Přepočítání normálového modulu na čelní modul

$$m_{emin} = m_{nmin} \cdot \left(1 + \frac{\psi_d}{\sqrt{1 + i_{sk}^2}}\right) = 0,666 \cdot \left(1 + \frac{0,86095}{\sqrt{1 + 4,0714^2}}\right) \quad (4.15)$$
$$= 0,803 \text{ mm}$$

S ohledem na rozměry, vyrobitelnost a namáhání soukolí byl zvolen čelní modul  $m_e = 2 \text{ mm}$ .

##### Přepočítání čelního modulu na normálový modul

$$m_n = \frac{m_e}{\left(1 + \frac{\psi_d}{\sqrt{1 + i_{sk}^2}}\right)} = \frac{2}{\left(1 + \frac{0,86095}{\sqrt{1 + 4,0714^2}}\right)} = 1,659 \text{ mm} = 0,803 \text{ mm} \quad (4.16)$$

##### Přepočítání poměru šířky ozubení vůči délce povrchu roztečného kužele

$$\psi_L = \frac{2 \cdot \psi_d}{\psi_d + \sqrt{1 + i_{sk}^2}} = \frac{2 \cdot 0,86095}{0,86095 + \sqrt{1 + 4,0714^2}} = 0,3407 \quad (4.17)$$

##### Přepočítání poměru šířky ke střednímu modulu

$$\psi_m = \frac{z_1 \cdot \psi_L \cdot \sqrt{1 + i_{sk}^2}}{2 - \psi_L} = \frac{14 \cdot 0,3407 \cdot \sqrt{1 + 4,0714^2}}{2 - 0,3407} = 12,0533 \quad (4.18)$$

##### Šířka ozubení

$$b_{min} = m_n \cdot \psi_m = 1,659 \cdot 12,0533 = 19,996 \text{ mm} \quad (4.19)$$

Šířka ozubení byla zvolena  $b = 20 \text{ mm}$

### Úhly roztečných kuželů

$$\sum = \delta_1 + \delta_2 = 90^\circ \quad (4.20)$$

$$\delta_1 = \tan^{-1} \frac{z_1}{z_2} = \tan^{-1} \frac{14}{57} = 13,799^\circ \quad (4.21)$$

$$\delta_2 = \sum - \delta_1 = 90 - 13,799 = 76,201^\circ \quad (4.22)$$

### Kontrola praktického minimálního počtu zubů

$$z_{pmin} = 14 \cdot \cos \delta_1 = 14 \cdot \cos 13,799 = 13,596 \quad (4.23)$$

Zvolený počet zubů vyhovuje podmínce  $z_{pmin} < z_1$ .

### Záběrový úhel v normálové rovině

Tento úhel je normalizovaný a byl zvolen  $\alpha_n = 20^\circ$ .

### Průměry roztečných kružnic

$$d_1 = m_e \cdot z_1 = 2 \cdot 14 = 28 \text{ mm} \quad (4.24)$$

$$d_2 = m_e \cdot z_2 = 2 \cdot 57 = 114 \text{ mm} \quad (4.25)$$

### Průměry hlavových kružnic

$$d_{a1} = d_1 + 2 \cdot h_a^* \cdot m_e \cdot \cos \delta_1 = 28 + 2 \cdot 1 \cdot 2 \cdot \cos 13,799 = 31,885 \text{ mm} \quad (4.26)$$

$$\begin{aligned} d_{a2} &= d_2 + 2 \cdot h_a^* \cdot m_e \cdot \cos \delta_2 = 114 + 2 \cdot 1 \cdot 2 \cdot \cos 76,201 = \\ &= 114,954 \text{ mm} \end{aligned} \quad (4.27)$$

Pro výpočet byl zvolen koeficient výšky hlavy zubu  $h_a^* = 1$ .

### Průměry patních kružnic

$$\begin{aligned} d_{f1} &= d_1 - 2 \cdot (h_a^* + c_a^*) \cdot m_e \cdot \cos \delta_1 = 28 - 2 \cdot (1 + 0,25) \cdot 2 \cdot \cos 13,799 \\ &= 25,669 \text{ mm} \end{aligned} \quad (4.28)$$

$$\begin{aligned} d_{f2} &= d_2 - 2 \cdot (h_a^* + c_a^*) \cdot m_e \cdot \cos \delta_2 = 114 - 2 \cdot (1 + 0,25) \cdot 2 \cdot \cos 76,201 \\ &= 113,428 \text{ mm} \end{aligned} \quad (4.29)$$

### Průměry středních roztečných kružnic

$$d_{m1} = d_1 - b \cdot \sin \delta_1 = 28 - 20 \cdot \sin 13,799 = 23,230 \text{ mm} \quad (4.30)$$

$$d_{m2} = d_2 - b \cdot \sin \delta_2 = 114 - 20 \cdot \sin 76,201 = 95,578 \text{ mm} \quad (4.31)$$

### Vrcholové úhly hlavových kuželů

$$\begin{aligned} \delta_{a1} &= \delta_1 + \tan^{-1} \left( \frac{2 \cdot h_a^* \cdot m_e \sin \delta_1}{d_1} \right) = 13,799 + \tan^{-1} \left( \frac{2 \cdot 1 \cdot 2 \sin 13,799}{28} \right) \\ &= 15,751^\circ \end{aligned} \quad (4.32)$$

$$\begin{aligned} \delta_{a2} &= \delta_2 + \tan^{-1} \left( \frac{2 \cdot h_a^* \cdot m_e \sin \delta_2}{d_2} \right) = 76,201 + \tan^{-1} \left( \frac{2 \cdot 1 \cdot 2 \sin 76,201}{114} \right) \\ &= 78,153^\circ \end{aligned} \quad (4.33)$$

### Vrcholové úhly patních kuželů

$$\begin{aligned} \delta_{f1} &= \delta_1 - \tan^{-1} \left( \frac{2 \cdot (h_a^* + c_a^*) \cdot m_e \sin \delta_1}{d_1} \right) = \\ &= 13,799 - \tan^{-1} \left( \frac{2 \cdot (1 + 0,25) \cdot 2 \sin 13,799}{28} \right) = 11,360^\circ \end{aligned} \quad (4.34)$$

$$\begin{aligned} \delta_{f2} &= \delta_2 - \tan^{-1} \left( \frac{2 \cdot (h_a^* + c_a^*) \cdot m_e \sin \delta_2}{d_2} \right) = \\ &= 76,201 - \tan^{-1} \left( \frac{2 \cdot (1 + 0,25) \cdot 2 \sin 76,201}{114} \right) = 73,762^\circ \end{aligned} \quad (4.35)$$

### Roztečné poloměry náhradních kol

$$r_{n1} = \frac{d_1}{2 \cdot \cos \delta_1} = \frac{28}{2 \cdot \cos 13,799} = 14,4161 \text{ mm} \quad (4.36)$$

$$r_{n2} = \frac{d_2}{2 \cdot \cos \delta_2} = \frac{114}{2 \cdot \cos 76,201} = 238,9689 \text{ mm} \quad (4.37)$$

### Hlavové poloměry náhradních kol

$$r_{na1} = r_{n1} + (h_a^* \cdot m_e) = 14,4161 + (1 \cdot 2) = 16,4161 \text{ mm} \quad (4.38)$$

$$r_{na2} = r_{n2} + (h_a^* \cdot m_e) = 238,9689 + (1 \cdot 2) = 240,9689 \text{ mm} \quad (4.39)$$

### Základní poloměry náhradních kol

$$r_{nb1} = r_{n1} \cdot \cos \alpha_n = 14,4161 \cdot \cos 20 = 13,5467 \text{ mm} \quad (4.40)$$

$$r_{nb2} = r_{n2} \cdot \cos \alpha_n = 238,9689 \cdot \cos 20 = 224,5573 \text{ mm} \quad (4.41)$$

### Osová vzdálenost náhradních kol

$$a_n = r_{n1} + r_{n2} = 14,4161 + 238,9689 = 253,385 \text{ mm} \quad (4.42)$$

### Čelní rozteč náhradních kol

$$p_t = \pi \cdot m_e = \pi \cdot 2 = 6,2832 \text{ mm} \quad (4.43)$$

### Základní rozteč náhradních kol

$$p_{tb} = p_t \cdot \cos \alpha_n = 6,2832 \cdot \cos 20 = 5,9043 \text{ mm} \quad (4.44)$$

### Součinitel trvání záběru

$$\begin{aligned} \varepsilon_\alpha &= \frac{\sqrt{r_{na1}^2 - r_{nb1}^2} + \sqrt{r_{na2}^2 - r_{nb2}^2} - a_n \cdot \sin \alpha_n}{p_{tb}} \\ &= \frac{\sqrt{16,4161^2 - 13,5467^2} + \sqrt{240,9689^2 - 224,5573^2} - 253,385 \cdot \sin 20}{5,9043} \quad (4.45) \\ &= 1,6965 \end{aligned}$$

Z výpočtu je patrné, že součinitel trvání záběru není celočíselný, tudíž dochází ke střídání počtu spolu zabírajících párů zubů mezi jedním párem a dvěma páry, tímto vznikají dynamické síly, které se projeví v námaze ozubených kol i hřídelů.



#### 4.4.4.2. Silové poměry kuželového soukolí

##### Obvodové síly v kuželovém soukolí

$$F_{t1} = F_{t2} = \frac{2000 \cdot M_{k1}}{d_{m1}} = \frac{2000 \cdot 5,84}{23,2296} = 502 \text{ N} \quad (4.46)$$

##### Radiální síly v kuželovém soukolí

$$F_{r1} = F_{t1} \cdot \tan \alpha_n \cdot \cos \delta_1 = 502 \cdot \tan 20 \cdot \cos 13,799 = 178 \text{ N} \quad (4.47)$$

$$F_{r2} = F_{t2} \cdot \tan \alpha_n \cdot \cos \delta_2 = 502 \cdot \tan 20 \cdot \cos 76,201 = 44 \text{ N} \quad (4.48)$$

##### Axiální síly v kuželovém soukolí

$$F_{a1} = F_{t1} \cdot \tan \alpha_n \cdot \sin \delta_1 = 502 \cdot \tan 20 \cdot \sin 13,799 = 44 \text{ N} \quad (4.49)$$

$$F_{a2} = F_{t2} \cdot \tan \alpha_n \cdot \sin \delta_2 = 502 \cdot \tan 20 \cdot \sin 76,201 = 178 \text{ N} \quad (4.50)$$

#### 4.4.4.3. Pevnostní kontrola kuželového soukolí

Z obrázků a tabulek obsažených v publikaci od doc. Bureše [10] jsou hodnoty součinitelů následující:  $Z_E=190$ ,  $Z_H=2,5$ ,  $Z_\varepsilon=0,88$ ,  $K_A=2,25$ ,  $K_{H\alpha}$ .  $K_{Hv}=1,2$ ,  $K_{H\beta}=1,55$ ,  $Z_R=1$ ,  $S_{Hmin}=1,3$ ,  $K_{AS}=1,1$ ,  $K_{F\beta}=K_{H\beta}$ ,  $K_{F\alpha}$ .  $K_{Fv}=1,2$ ,  $Y_{FS1}=5,2$ ,  $Y_{FS2}=4,28$ ,  $S_{Fmin}=1,7$ .

#### Kontrola tlakového zatížení boku zubu

Aby na bocích zubů nedošlo k tvorbě tzv. pittingů, musí být splněna následující podmínka [10]:

$$\sigma_H = \sigma_{HO} \cdot \sqrt{K_H} \leq \sigma_{HP}, \text{ kde} \quad (4.51)$$

$$\sigma_{HO} = Z_E \cdot Z_H \cdot Z_\varepsilon \cdot \sqrt{\frac{F_t}{b_{wH} \cdot d_1} \cdot \frac{i+1}{i}} \quad (4.52)$$

$$K_H = K_A \cdot K_{H\alpha} \cdot K_{H\beta} \cdot K_{Hv} \quad (4.53)$$

$$\sigma_{HP} = \frac{\sigma_{Hlim} \cdot Z_R}{S_{Hmin}} \quad (4.54)$$

Po dosazení do rovnic (4.51), (4.52), (4.53) a (4.54)

$$\sigma_{HO1} = Z_E \cdot Z_H \cdot Z_\varepsilon \cdot \sqrt{\frac{F_{t1}}{b \cdot d_{m1}} \cdot \frac{i_{sk} + 1}{i_{sk}}} = \quad (4.55)$$

$$= 190 \cdot 2,5 \cdot 0,88 \cdot \sqrt{\frac{502}{20 \cdot 23,2296} \cdot \frac{4,0714 + 1}{4,0714}} = 485 \text{ MPa}$$

$$\sigma_{HO2} = Z_E \cdot Z_H \cdot Z_\varepsilon \cdot \sqrt{\frac{F_{t2}}{b \cdot d_{m2}} \cdot \frac{i_{sk} + 1}{i_{sk}}} = \quad (4.56)$$

$$= 190 \cdot 2,5 \cdot 0,88 \cdot \sqrt{\frac{502}{20 \cdot 94,5777} \cdot \frac{4,0714 + 1}{4,0714}} = 240 \text{ MPa}$$

$$K_{H1} = K_{H2} = K_A \cdot K_{H\alpha} \cdot K_{H\beta} \cdot K_{Hv} = 2,25 \cdot 1,2 \cdot 1,55 = 4,185 \quad (4.57)$$

$$\sigma_{HP1} = \sigma_{HP2} = \frac{\sigma_{Hlim} \cdot Z_R}{S_{Hmin}} = \frac{1330 \cdot 1}{1,3} = 1023 \text{ MPa} \quad (4.58)$$

$$\sigma_{H1} = \sigma_{HO1} \cdot \sqrt{K_{H1}} = 485 \cdot \sqrt{4,185} = 992 \text{ MPa} \quad (4.59)$$

$$\sigma_{H2} = \sigma_{HO2} \cdot \sqrt{K_{H2}} = 240 \cdot \sqrt{4,185} = 492 \text{ MPa} \quad (4.60)$$

$\sigma_{H1} < \sigma_{HP1}$ ,  $\sigma_{H2} < \sigma_{HP2}$  ... podmínka splněna pro pastorek i kolo

## Kontrola statické únosnosti v dotyku zubů

Vlivem jednorázového působení největšího zatížení by mohlo dojít k trvalé deformaci, případně křehkému lomu povrchové vrstvy boku zubu, pro zamezení těchto možností musí být splněna následující podmínka [10]:

$$\sigma_{Hmax} = \sigma_{HO} \cdot \sqrt{\frac{F_{t1.1} \cdot K_H}{F_{t1}}} \leq \sigma_{HPmax}, \text{ kde} \quad (4.61)$$

$$F_{t1.1} = F_{t1} \cdot K_{AS} \quad (4.62)$$

$$\sigma_{HPmax} = 4 \cdot V_{HV} \quad (4.63)$$

Po dosazení do rovnic (4.61), (4.62) a (4.63)

$$F_{t1.1} = F_{t2.1} = F_{t1} \cdot K_{AS} = 502 \cdot 1,1 = 552 \text{ N} \quad (4.64)$$

$$\sigma_{Hmax1} = \sigma_{HO1} \cdot \sqrt{\frac{F_{t1.1} \cdot K_{H1}}{F_{t1}}} = 485 \cdot \sqrt{\frac{552 \cdot 4,185}{502}} = 1040 \text{ MPa} \quad (4.65)$$

$$\sigma_{Hmax2} = \sigma_{HO2} \cdot \sqrt{\frac{F_{t2.1} \cdot K_{H2}}{F_{t2}}} = 240 \cdot \sqrt{\frac{552 \cdot 4,185}{502}} = 515 \text{ MPa} \quad (4.66)$$

$$\sigma_{HPmax1} = \sigma_{HPmax2} = 4 \cdot V_{HV} = 4 \cdot 650 = 2600 \text{ MPa} \quad (4.67)$$

$\sigma_{Hmax1} < \sigma_{HPmax1}$ ,  $\sigma_{Hmax2} < \sigma_{HPmax2}$  ... podmínka splněna pro pastorek i kolo.

## Kontrola z hlediska únavy v ohybu

Pro zamezení vzniku únavového lomu v oblasti paty zubu musí být splněna následující podmínka [10]:

$$\sigma_F = \frac{F_{t1}}{b \cdot m_e} \cdot K_F \cdot Y_{FS} \cdot Y_\beta \cdot Y_\varepsilon \leq \sigma_{FP}, \text{ kde} \quad (4.68)$$

$$K_F = K_A \cdot K_{F\beta} \cdot K_{F\alpha} \cdot K_{FV} \quad (4.69)$$

$$\sigma_{FP} = \frac{\sigma_{Flimb}}{S_{Fmin}} \quad (4.70)$$

$$Y_\beta = 1 - \varepsilon_\beta \cdot \frac{\beta_m}{120} \quad (4.71)$$

$$Y_\varepsilon = \frac{1}{\varepsilon_\alpha} \quad (4.72)$$

Po dosazení do rovnic (4.68), (4.69), (4.70), (4.71) a (4.72)

$$K_{F1} = K_{F2} = K_A \cdot K_{F\beta} \cdot K_{F\alpha} \cdot K_{FV} = 2,25 \cdot 1,55 \cdot 1,2 = 4,185 \quad (4.73)$$

$$\sigma_{FP1} = \sigma_{FP2} = \frac{\sigma_{Flimb}}{S_{Fmin}} = \frac{740}{1,7} = 435 \text{ MPa} \quad (4.74)$$

$$Y_\beta = 1 - \varepsilon_\beta \frac{\beta_m}{120} = 1 - 0 \frac{0}{120} = 1 \quad (4.75)$$

$$Y_\varepsilon = \frac{1}{\varepsilon_\alpha} = \frac{1}{1,6965} = 0,5894 \quad (4.76)$$

$$\begin{aligned} \sigma_{F1} &= \frac{F_{t1}}{b \cdot m_e} \cdot K_{F1} \cdot Y_{FS1} \cdot Y_\beta \cdot Y_\varepsilon = \frac{502}{20 \cdot 2} \cdot 4,185 \cdot 5,2 \cdot 1 \cdot 0,5894 \\ &= 161 \text{ MPa} \end{aligned} \quad (4.77)$$

$$\begin{aligned} \sigma_{F2} &= \frac{F_{t2}}{b \cdot m_e} \cdot K_{F2} \cdot Y_{FS2} \cdot Y_\beta \cdot Y_\varepsilon = \frac{502}{20 \cdot 2} \cdot 4,185 \cdot 4,28 \cdot 1 \cdot 0,5894 \\ &= 133 \text{ MPa} \end{aligned} \quad (4.78)$$

$\sigma_{F1} < \sigma_{FP1}$ ,  $\sigma_{F2} < \sigma_{FP2}$  ... podmínka splněna pro pastorek i kolo.

### Kontrola statické bezpečnosti v ohybu

Aby jednorázovým působením největšího zatížení nedošlo k trvalé deformaci, či ke vzniku počátečních trhlin v oblasti paty zubu, nebo ke křehkému lomu zubu, musí být splněna podmínka [10]:

$$\sigma_{Fmax} = \sigma_F \cdot \frac{F_{t1.1}}{F_{t1}} \leq \sigma_{FPmax}, \text{ kde} \quad (4.79)$$

$$\sigma_{FPmax} = 0,8 \cdot \sigma_{FSt} \quad (4.80)$$

$$\sigma_{FSt} = 2,5 \cdot \sigma_{Flimb} \quad (4.81)$$

Po dosazení do rovnic (4.79), (4.80) a (4.81)

$$\sigma_{FSt1} = \sigma_{FSt2} = 2,5 \cdot \sigma_{Flimb} = 2,5 \cdot 740 = 1850 \text{ MPa} \quad (4.82)$$

$$\sigma_{FPmax1} = \sigma_{FPmax2} = 0,8 \cdot \sigma_{FSt1} = 0,8 \cdot 1850 = 1480 \text{ MPa} \quad (4.83)$$

$$\sigma_{Fmax1} = \sigma_{F1} \cdot \frac{F_{t1.1}}{F_{t1}} = 161 \cdot \frac{552}{502} = 177 \text{ MPa} \quad (4.84)$$

$$\sigma_{Fmax2} = \sigma_{F2} \cdot \frac{F_{t2.1}}{F_{t2}} = 133 \cdot \frac{552}{502} = 146 \text{ MPa} \quad (4.85)$$

$\sigma_{Fmax1} < \sigma_{FPmax1}$ ,  $\sigma_{Fmax2} < \sigma_{FPmax2}$  ... podmínka splněna pro pastorek i kolo.

#### 4.4.5. Návrhový výpočet hlavního čelního soukolí se šikmými zuby

Po kuželovém soukolí následuje čelní ozubené soukolí se šikmými zuby, které bylo zvoleno z důvodu lepšího záběru. Soukolí díky konstrukci převodovky umožňuje přenést kroutící moment na výstupní hřídel rotavátoru.

Materiálové vlastnosti čelního ozubeného soukolí byly zvoleny vzhledem k namáhání způsobeném spalovacím motorem a povahou rotavátoru. Byla zvolena ocel 16 526, jež se používá pro více namáhaná ozubená kola.

Tab. 4.3 Materiálové vlastnosti hlavního čelního soukolí [10]

Hlavní soukolí	
<b>Materiál</b>	16 526 [Označení ČSN]
<b>Tepelné zpracování</b>	Cementováno + kaleno
$\sigma_{Flimb}$	740 [MPa]
$\sigma_{Hlim}$	1330 [MPa]
<b>R<sub>e</sub> nebo R<sub>p0,2</sub></b>	885 [MPa]
<b>R<sub>m</sub></b>	1130 [MPa]
<b>V<sub>HV</sub></b>	650 až 700 [HV 3]
<b>J<sub>HV</sub></b>	360 [HV]

##### 4.4.5.1. Geometrie hlavního čelního soukolí se šikmými zuby

###### Minimální normálový modul čelního soukolí se šikmými zuby

Pro soukolí s tvrzenými boky zubů platí tento vztah [8].

$$m_{nmin} = 1,85 \cdot \sqrt[3]{\frac{M_{k2} \cdot \cos^2 \beta_k}{z_3^2 \cdot \psi_d \cdot \sigma_{Flimb}}} = 1,85 \cdot \sqrt[3]{\frac{23,760 \cdot 18,195}{16^2 \cdot 0,89063 \cdot 740000000}} \quad (4.86)$$
$$= 0,930 \text{ mm}$$

$\psi_d = 0,89063$  je zvolený součinitel šířky ozubení vůči střednímu roztečnému průměru a úhel sklonu zubů  $\beta = 18,195^\circ$ .

Vzhledem k namáhání a rozměrům převodového ústrojí byl zvolen modul  $m_n = 2 \text{ mm}$

### Přepočítání normálového modulu na čelní modul

$$m_t = \frac{m_n}{\cos \beta} = \frac{2}{\cos 18,195} = 2,105 \text{ mm} \quad (4.87)$$

### Kontrola praktického minimálního počtu zubů

$$z_{pmin} = 14 \cdot \cos^3 \beta = 14 \cdot \cos^3 18,195 = 12,003 \quad (4.88)$$

Zvolený počet zubů vyhovuje podmínce  $z_{pmin} < z_3$ .

### Přepočítání poměru šířky ozubení ke střednímu modulu

$$\psi_m = \psi_d \cdot z_3 = 0,89063 \cdot 16 = 14,250 \quad (4.89)$$

### Šířka ozubení

$$b_{min} = m_n \cdot \psi_m = 2 \cdot 14,250 = 28,5 \text{ mm} \quad (4.90)$$

Šířka ozubení byla zvolena  $b = 30 \text{ mm}$ .

### Čelní záběrový úhel

$$\alpha_t = \tan^{-1} \frac{\tan \alpha_n}{\cos \beta} = \tan^{-1} \frac{\tan 20}{\cos 18,195} = 20,963^\circ \quad (4.91)$$

### Průměry roztečných kružnic

$$d_3 = z_3 \cdot m_t = 16 \cdot 2,105 = 33,684 \text{ mm} \quad (4.92)$$

$$d_4 = z_4 \cdot m_t = 79 \cdot 2,105 = 166,316 \text{ mm} \quad (4.93)$$

### Průměry hlavových kružnic

$$d_{a3} = d_3 + 2 \cdot m_n = 33,684 + 2 \cdot 2 = 37,684 \text{ mm} \quad (4.94)$$

$$d_{a4} = d_4 + 2 \cdot m_n = 166,316 + 2 \cdot 2 = 170,316 \text{ mm} \quad (4.95)$$

### Průměry patních kružnic

$$d_{f3} = d_3 - 2,5 \cdot m_n = 33,684 - 2,5 \cdot 2 = 28,684 \text{ mm} \quad (4.96)$$

$$d_{f4} = d_4 - 2,5 \cdot m_n = 166,316 - 2,5 \cdot 2 = 161,316 \text{ mm} \quad (4.97)$$

### Průměry základních kružnic

$$d_{b3} = d_3 \cdot \cos \alpha_t = 33,684 \cdot \cos 20,963 = 31,455 \text{ mm} \quad (4.98)$$

$$d_{b4} = d_4 \cdot \cos \alpha_t = 166,316 \cdot \cos 20,963 = 155,308 \text{ mm} \quad (4.99)$$

### Osová vzdálenost soukolí

$$a_{3,4} = \frac{d_3 + d_4}{2} = \frac{33,684 + 166,316}{2} = 100 \text{ mm} \quad (4.100)$$

### Normálová rozteč

$$p_n = \pi \cdot m_n = \pi \cdot 2 = 6,283 \text{ mm} \quad (4.101)$$

### Čelní rozteč

$$p_t = \pi \cdot m_t = \pi \cdot 2,105 = 6,613 \text{ mm} \quad (4.102)$$

### Základní rozteč

$$p_{tb} = p_t \cdot \cos \alpha_t = 6,613 \cdot \cos 20,963 = 6,175 \text{ mm} \quad (4.103)$$

### Součinitel trvání záběru $\varepsilon_\alpha$

$$\begin{aligned} \varepsilon_\alpha &= \frac{\sqrt{d_{a3}^2 - d_{b4}^2} + \sqrt{d_{a4}^2 - d_{b4}^2} - 2 \cdot a_{3,4} \cdot \sin \alpha_t}{2 \cdot p_{tb}} \\ &= \frac{\sqrt{37,684^2 - 31,455^2} + \sqrt{170,316^2 - 155,308^2} - 2 \cdot 100 \cdot \sin 20,963}{2 \cdot 6,175} \\ &= 1,547 \end{aligned} \quad (4.104)$$

### Součinitel trvání záběru $\varepsilon_\beta$

$$\varepsilon_\beta = \frac{b \cdot \tan \beta}{p_t} = \frac{30 \cdot \tan 18,195}{6,613} = 1,491 \quad (4.105)$$

### Součinitel trvání záběru $\varepsilon$

$$\varepsilon = \varepsilon_\alpha + \varepsilon_\beta = 1,547 + 1,491 = 3,038 \quad (4.106)$$

Z výpočtu je patrné, že součinitel trvání záběru je téměř celočíselný, tudíž budou v záběru nejméně 3 páry zubů. Z toho vyplývá, že soukolí bude tiché a bude prokazovat plynulejší záběr.

#### 4.4.5.2. Silové poměry

**Obvodové síly v čelním soukolí se šikmými zuby**

$$F_{t3} = F_{t4} = \frac{2000 \cdot M_{k2}}{d_3} = \frac{2000 \cdot 23,760}{33,684} = 1411 \text{ N} \quad (4.107)$$

**Radiální síly v čelním soukolí se šikmými zuby**

$$F_{r3} = F_{r4} = F_{t3} \cdot \frac{\tan \alpha_n}{\cos \beta} = 1411 \cdot \frac{\tan 20}{\cos 18,195} = 541 \text{ N} \quad (4.108)$$

**Radiální síly v čelním soukolí se šikmými zuby**

$$F_{a3} = F_{a4} = F_{t3} \cdot \tan \beta = 1411 \cdot \tan 18,195 = 464 \text{ N} \quad (4.109)$$



#### 4.4.5.3. Pevnostní kontrola čelního soukolí se šikmými zuby

Z obrázků a tabulek obsažených v publikaci od doc. Bureše [10] jsou hodnoty součinitelů následující:  $Z_E=190$ ,  $Z_H=2,35$ ,  $Z_\varepsilon=0,82$ ,  $K_A=2,25$ ,  $K_{H\alpha} \cdot K_{H\beta}=1,2$ ,  $K_{H\beta}=1,5$ ,  $Z_R=1$ ,  $S_{Hmin}=1,3$ ,  $K_{AS}=1,1$ ,  $K_{F\beta}=K_{H\beta}$ ,  $K_{F\alpha} \cdot K_{F\beta}=1,2$ ,  $Y_{FS1}=4,8$ ,  $Y_{FS2}=4,28$ ,  $S_{Fmin}=1,7$ .

#### Kontrola tlakového zatížení boku zubu

Aby na bocích zubů nedošlo k tvorbě tzv. pittingů, musí být splněny podmínky ze vztahů (4.51), (4.52), (4.53) a (4.54).

$$\begin{aligned}\sigma_{HO3} &= Z_E \cdot Z_H \cdot Z_\varepsilon \cdot \sqrt{\frac{F_{t3}}{b \cdot d_3} \cdot \frac{i_{sč1} + 1}{i_{sč1}}} = \\ &= 190 \cdot 2,35 \cdot 0,82 \cdot \sqrt{\frac{1411}{30 \cdot 33,684} \cdot \frac{4,938 + 1}{4,938}} = 474 \text{ MPa}\end{aligned}\tag{4.110}$$

$$\begin{aligned}\sigma_{HO4} &= Z_E \cdot Z_H \cdot Z_\varepsilon \cdot \sqrt{\frac{F_{t4}}{b \cdot d_4} \cdot \frac{i_{sč1} + 1}{i_{sč1}}} = \\ &= 190 \cdot 2,35 \cdot 0,82 \cdot \sqrt{\frac{1411}{30 \cdot 166,316} \cdot \frac{4,938 + 1}{4,938}} = 214 \text{ MPa}\end{aligned}\tag{4.111}$$

$$K_{H3} = K_{H4} = K_A \cdot K_{H\alpha} \cdot K_{H\beta} \cdot K_{H\beta} = 2,25 \cdot 1,2 \cdot 1,5 = 4,05\tag{4.112}$$

$$\sigma_{HP3} = \sigma_{HP4} = \frac{\sigma_{Hlim} \cdot Z_R}{S_{Hmin}} = \frac{1330 \cdot 1}{1,3} = 1023 \text{ MPa}\tag{4.113}$$

$$\sigma_{H3} = \sigma_{HO3} \cdot \sqrt{K_{H3}} = 474 \cdot \sqrt{4,05} = 954 \text{ MPa}\tag{4.114}$$

$$\sigma_{H4} = \sigma_{HO4} \cdot \sqrt{K_{H4}} = 214 \cdot \sqrt{4,05} = 431 \text{ MPa}\tag{4.115}$$

$\sigma_{H3} < \sigma_{HP3}$ ,  $\sigma_{H4} < \sigma_{HP4}$  ... podmínka splněna pro pastorek i kolo.

## Kontrola statické únosnosti v dotyku zubů

Pro zamezení trvalé deformace, nebo křehkého lomu povrchové vrstvy boku zubu, způsobené jednorázovým největším zatížením, musí být splněny podmínky ze vztahů (4.61), (4.62) a (4.63).

$$F_{t3.1} = F_{t4.1} = F_{t3} \cdot K_{AS} = 1411 \cdot 1,1 = 1552 \text{ N} \quad (4.116)$$

$$\sigma_{Hmax3} = \sigma_{HO3} \cdot \sqrt{\frac{F_{t3.1} \cdot K_{H3}}{F_{t3}}} = 474 \cdot \sqrt{\frac{1552 \cdot 4,05}{1411}} = 1001 \text{ MPa} \quad (4.117)$$

$$\sigma_{Hmax4} = \sigma_{HO4} \cdot \sqrt{\frac{F_{t4.1} \cdot K_{H4}}{F_{t4}}} = 214 \cdot \sqrt{\frac{1552 \cdot 4,05}{1411}} = 452 \text{ MPa} \quad (4.118)$$

$$\sigma_{HPmax3} = \sigma_{HPmax4} = 4 \cdot V_{HV} = 4 \cdot 650 = 2600 \text{ MPa} \quad (4.119)$$

$\sigma_{Hmax3} < \sigma_{HPmax3}$ ,  $\sigma_{Hmax4} < \sigma_{HPmax4}$  ... podmínka splněna pro pastorek i kolo.

## Kontrola z hlediska únavy v ohybu

Pro zamezení vzniku únavového lomu v oblasti paty zubu musí být splněny podmínky ze vztahů (4.68), (4.69), (4.70), (4.71) a (4.72).

$$K_{F3} = K_{F4} = K_A \cdot K_{F\beta} \cdot K_{F\alpha} \cdot K_{FV} = 2,25 \cdot 1,5 \cdot 1,2 = 4,05 \quad (4.120)$$

$$\sigma_{FP3} = \sigma_{FP4} = \frac{\sigma_{Flimb}}{S_{Fmin}} = \frac{740}{1,7} = 435 \text{ MPa} \quad (4.121)$$

$$Y_{\beta} = 1 - \varepsilon_{\beta} \cdot \frac{\beta}{120} = 1 - 1,491 \cdot \frac{18,195}{120} = 0,774 \quad (4.122)$$

$$Y_{\varepsilon} = \frac{1}{\varepsilon_{\alpha}} = \frac{1}{1,547} = 0,6464 \quad (4.123)$$

$$\begin{aligned} \sigma_{F3} &= \frac{F_{t3}}{b \cdot m_n} \cdot K_{F3} \cdot Y_{FS3} \cdot Y_{\beta} \cdot Y_{\varepsilon} = \frac{1411}{30 \cdot 2} \cdot 4,05 \cdot 4,8 \cdot 0,774 \cdot 0,6464 \\ &= 229 \text{ MPa} \end{aligned} \quad (4.124)$$

$$\begin{aligned} \sigma_{F4} &= \frac{F_{t4}}{b \cdot m_n} \cdot K_{F4} \cdot Y_{FS4} \cdot Y_{\beta} \cdot Y_{\varepsilon} = \frac{1411}{30 \cdot 2} \cdot 4,05 \cdot 4,28 \cdot 0,774 \cdot 0,6464 \\ &= 204 \text{ MPa} \end{aligned} \quad (4.125)$$

$\sigma_{F3} < \sigma_{FP3}$ ,  $\sigma_{F4} < \sigma_{FP4}$  ... podmínka splněna pro pastorek i kolo.

## Kontrola statické bezpečnosti v ohybu

Pro zamezení trvalé deformace, případně vzniku počátečních trhlin v oblasti paty zubu, nebo křehkého lomu zubu, vlivem jednorázového působení největšího zatížení, musí být splněny podmínky ze vztahů (4.79), (4.80) a (4.81).

$$\sigma_{FSt3} = \sigma_{FSt4} = 2,5 \cdot \sigma_{Flimb} = 2,5 \cdot 740 = 1850 \text{ MPa} \quad (4.126)$$

$$\sigma_{FPmax3} = \sigma_{FPmax4} = 0,8 \cdot \sigma_{FSt3} = 0,8 \cdot 1850 = 1480 \text{ MPa} \quad (4.127)$$

$$\sigma_{Fmax3} = \sigma_{F3} \cdot \frac{F_{t3.1}}{F_{t3}} = 229 \cdot \frac{1552}{1411} = 252 \text{ MPa} \quad (4.128)$$

$$\sigma_{Fmax4} = \sigma_{F4} \cdot \frac{F_{t4.1}}{F_{t4}} = 204 \cdot \frac{1552}{1411} = 225 \text{ MPa} \quad (4.129)$$

$\sigma_{Fmax3} < \sigma_{FPmax3}$ ,  $\sigma_{Fmax4} < \sigma_{FPmax4}$  ... podmínka splněna pro pastorek i kolo

#### 4.4.6. Návrhový výpočet urychlujícího čelního soukolí se šikmými zuby

Následující soukolí v převodovém ústrojí je urychlující čelní soukolí se šikmými zuby. Soukolí umožňuje přenos vyšších otáček na výstupní hřídel. Díky tomu bude možné pohybovat se zařízením rychleji, čímž dojde ke zvýšení produktivity.

Materiálové vlastnosti tohoto soukolí byly zvoleny vzhledem k namáhání čelního soukolí způsobeném spalovacím motorem a povahou rotavátoru. Byla zvolena ocel 16 526, která se používá pro více namáhaná ozubená kola.

Tab. 4.4 Materiálové vlastnosti urychlujícího čelního soukolí [10]

Urychlující soukolí	
<b>Materiál</b>	16 526 [Označení ČSN]
<b>Tepelné zpracování</b>	Cementováno + kaleno
$\sigma_{Flimb}$	740 [MPa]
$\sigma_{Hlim}$	1330 [MPa]
<b>R<sub>e</sub> nebo R<sub>p0,2</sub></b>	885 [MPa]
<b>R<sub>m</sub></b>	1130 [MPa]
<b>V<sub>HV</sub></b>	650 až 700 [HV 3]
<b>J<sub>HV</sub></b>	360 [HV]

##### 4.4.6.1. Geometrie urychlujícího čelního soukolí se šikmými zuby

##### Minimální normálový modul urychlujícího čelního soukolí se šikmými zuby

Pro soukolí s tvrzenými boky zubů platí tento vztah [8]:

$$m_{nmin} = 1,85 \cdot \sqrt[3]{\frac{M_{k2} \cdot \cos^2 \beta_k}{z_5^2 \cdot \psi_d \cdot \sigma_{Flimb}}} = 1,85 \cdot \sqrt[3]{\frac{23,760 \cdot 27,127}{20^2 \cdot 0,6675 \cdot 740000000}} \quad (4.130)$$

$$= 0,845 \text{ mm}$$

$\psi_d = 0,6675$  je zvolený součinitel šířky ozubení vůči střednímu roztečnému průměru a úhel sklonu zubů  $\beta = 27,127^\circ$ .

Vzhledem k namáhání a rozměrům převodového ústrojí byl zvolen modul  $m_n = 2 \text{ mm}$

### Přepočít normálového modulu na čelní modul

$$m_t = \frac{m_n}{\cos \beta} = \frac{2}{\cos 27,127} = 2,247 \text{ mm} \quad (4.131)$$

### Kontrola praktického minimálního počtu zubů

$$z_{pmin} = 14 \cdot \cos^3 \beta = 14 \cdot \cos^3 27,127 = 9,8695 \quad (4.132)$$

Zvolený počet zubů vyhovuje podmínce  $z_{pmin} < z_5$ .

### Přepočít poměru šířky ozubení ke střednímu modulu

$$\psi_m = \psi_d \cdot z_5 = 0,6675 \cdot 20 = 13,35 \quad (4.133)$$

### Šířka ozubení

$$b_{min} = m_n \cdot \psi_m = 2 \cdot 13,35 = 26,7 \text{ mm} \quad (4.134)$$

Šířka ozubení byla zvolena  $b = 30 \text{ mm}$ .

### Čelní záběrový úhel

$$\alpha_t = \tan^{-1} \frac{\tan \alpha_n}{\cos \beta} = \tan^{-1} \frac{\tan 20}{\cos 27,127} = 22,600^\circ \quad (4.135)$$

### Průměry roztečných kružnic

$$d_5 = z_5 \cdot m_t = 20 \cdot 2,247 = 44,943 \text{ mm} \quad (4.136)$$

$$d_6 = z_6 \cdot m_t = 69 \cdot 2,247 = 155,057 \text{ mm} \quad (4.137)$$

### Průměry hlavových kružnic

$$d_{a5} = d_5 + 2 \cdot m_n = 44,943 + 2 \cdot 2 = 48,943 \text{ mm} \quad (4.138)$$

$$d_{a6} = d_6 + 2 \cdot m_n = 155,057 + 2 \cdot 2 = 159,057 \text{ mm} \quad (4.139)$$

### Průměry patních kružnic

$$d_{f5} = d_5 - 2,5 \cdot m_n = 44,943 - 2,5 \cdot 2 = 39,943 \text{ mm} \quad (4.140)$$

$$d_{f6} = d_6 - 2,5 \cdot m_n = 155,057 - 2,5 \cdot 2 = 150,057 \text{ mm} \quad (4.141)$$

### Průměry základních kružnic

$$d_{b5} = d_5 \cdot \cos \alpha_t = 44,943 \cdot \cos 22,600 = 41,492 \text{ mm} \quad (4.142)$$

$$d_{b6} = d_6 \cdot \cos \alpha_t = 155,057 \cdot \cos 22,600 = 143,150 \text{ mm} \quad (4.143)$$

### Osová vzdálenost soukolí

$$a_{5,6} = \frac{d_5 + d_6}{2} = \frac{44,943 + 155,057}{2} = 100 \text{ mm} \quad (4.144)$$

### Normálová rozteč

$$p_n = \pi \cdot m_n = \pi \cdot 2 = 6,283 \text{ mm} \quad (4.145)$$

### Čelní rozteč

$$p_t = \pi \cdot m_t = \pi \cdot 2,247 = 7,059 \text{ mm} \quad (4.146)$$

### Základní rozteč

$$p_{tb} = p_t \cdot \cos \alpha_t = 7,059 \cdot \cos 22,600 = 6,517 \text{ mm} \quad (4.147)$$

### Součinitel trvání záběru $\varepsilon_\alpha$

$$\begin{aligned} \varepsilon_\alpha &= \frac{\sqrt{d_{a5}^2 - d_{b5}^2} + \sqrt{d_{a6}^2 - d_{b6}^2} - 2 \cdot a_{5,6} \cdot \sin \alpha_t}{2 \cdot p_{tb}} \\ &= \frac{\sqrt{44,943^2 - 41,492^2} + \sqrt{155,057^2 - 143,150^2} - 2 \cdot 100 \cdot \sin 22,600}{2 \cdot 6,517} \\ &= 1,414 \end{aligned} \quad (4.148)$$

### Součinitel trvání záběru $\varepsilon_\beta$

$$\varepsilon_\beta = \frac{b \cdot \tan \beta}{p_t} = \frac{30 \cdot \tan 27,127}{7,059} = 2,177 \quad (4.149)$$

### Součinitel trvání záběru $\varepsilon$

$$\varepsilon = \varepsilon_\alpha + \varepsilon_\beta = 1,414 + 2,177 = 3,591 \quad (4.150)$$

Z výpočtu je patrné, že součinitel trvání záběru je větší než 3,5, tudíž budou v záběru 3 páry zubů po více než 50% doby trvání záběru. Z toho vyplývá, že soukolí bude tiché a bude prokazovat plynulejší záběr, nežli soukolí s přímými zuby.

#### 4.4.6.2. Silové poměry

**Obvodové síly v urychlujícím čelním soukolí se šikmými zuby**

$$F_{t5} = F_{t6} = \frac{2000 \cdot M_{k2}}{d_5} = \frac{2000 \cdot 23,760}{44,943} = 1057 \text{ N} \quad (4.151)$$

**Radiální síly v urychlujícím čelním soukolí se šikmými zuby**

$$F_{r5} = F_{r6} = F_{t5} \cdot \frac{\tan \alpha_n}{\cos \beta} = 1057 \cdot \frac{\tan 20}{\cos 27,127} = 432 \text{ N} \quad (4.152)$$

**Radiální síly v urychlujícím čelním soukolí se šikmými zuby**

$$F_{a5} = F_{a6} = F_{t5} \cdot \tan \beta = 1057 \cdot \tan 27,127 = 542 \text{ N} \quad (4.153)$$

#### 4.4.6.3. Pevnostní kontrola urychlujícího čelního soukolí se šikmými zuby

Z obrázků a tabulek obsažených v publikaci od doc. Bureše [10] jsou hodnoty součinitelů následující.  $Z_E=190$ ,  $Z_H=2,25$ ,  $Z_\varepsilon=0,84$ ,  $K_A=2,25$ ,  $K_{H\alpha} \cdot K_{Hv}=1,2$ ,  $K_{H\beta}=1,5$ ,  $Z_R=1$ ,  $S_{Hmin}=1,3$ ,  $K_{AS}=1,1$ ,  $K_{F\beta}=K_{H\beta}$ ,  $K_{F\alpha} \cdot K_{Fv}=1,2$ ,  $Y_{FS5}=4,5$ ,  $Y_{FS6}=4,28$ ,  $S_{Fmin}=1,7$ .

#### Kontrola tlakového zatížení boku zubu

Aby na bocích zubů nedošlo k tvorbě tzv. pittingů, musí být splněny podmínky ze vztahů (4.51), (4.52), (4.53) a (4.54).

$$\begin{aligned} \sigma_{HO5} &= Z_E \cdot Z_H \cdot Z_\varepsilon \cdot \sqrt{\frac{F_{t5}}{b \cdot d_5} \cdot \frac{i_{sč2} + 1}{i_{sč2}}} = \\ &= 190 \cdot 2,25 \cdot 0,84 \cdot \sqrt{\frac{1057}{30 \cdot 44,493} \cdot \frac{3,450 + 1}{3,450}} = 363 \text{ MPa} \end{aligned} \quad (4.154)$$

$$\begin{aligned} \sigma_{HO6} &= Z_E \cdot Z_H \cdot Z_\varepsilon \cdot \sqrt{\frac{F_{t6}}{b \cdot d_6} \cdot \frac{i_{sč2} + 1}{i_{sč2}}} = \\ &= 190 \cdot 2,35 \cdot 0,82 \cdot \sqrt{\frac{1057}{30 \cdot 155,057} \cdot \frac{3,450 + 1}{3,450}} = 195 \text{ MPa} \end{aligned} \quad (4.155)$$

$$K_{H5} = K_{H6} = K_A \cdot K_{H\alpha} \cdot K_{H\beta} \cdot K_{Hv} = 2,25 \cdot 1,2 \cdot 1,5 = 4,05 \quad (4.156)$$

$$\sigma_{HP5} = \sigma_{HP6} = \frac{\sigma_{Hlim} \cdot Z_R}{S_{Hmin}} = \frac{1330 \cdot 1}{1,3} = 1023 \text{ MPa} \quad (4.157)$$

$$\sigma_{H5} = \sigma_{HO5} \cdot \sqrt{K_{H5}} = 363 \cdot \sqrt{4,05} = 731 \text{ MPa} \quad (4.158)$$

$$\sigma_{H6} = \sigma_{HO6} \cdot \sqrt{K_{H6}} = 195 \cdot \sqrt{4,05} = 393 \text{ MPa} \quad (4.159)$$

$\sigma_{H5} < \sigma_{HP5}$ ,  $\sigma_{H6} < \sigma_{HP6}$  ... podmínka splněna pro pastorek i kolo.



## Kontrola statické únosnosti v dotyku zubů

Pro zamezení trvalé deformace, nebo křehkého lomu povrchové vrstvy boku zubu způsobeného jednorázovým působením největšího zatížení, musí být splněny podmínky ze vztahů (4.61), (4.62) a (4.63).

$$F_{t5.1} = F_{t6.1} = F_{t5} \cdot K_{AS} = 1057 \cdot 1,1 = 1163 \text{ N} \quad (4.160)$$

$$\sigma_{Hmax5} = \sigma_{H05} \cdot \sqrt{\frac{F_{t5.1} \cdot K_{H5}}{F_{t5}}} = 363 \cdot \sqrt{\frac{1163 \cdot 4,05}{1057}} = 766 \text{ MPa} \quad (4.161)$$

$$\sigma_{Hmax6} = \sigma_{H06} \cdot \sqrt{\frac{F_{t6.1} \cdot K_{H6}}{F_{t6}}} = 195 \cdot \sqrt{\frac{1163 \cdot 4,05}{1057}} = 412 \text{ MPa} \quad (4.162)$$

$$\sigma_{HPmax5} = \sigma_{HPmax6} = 4 \cdot V_{HV} = 4 \cdot 650 = 2600 \text{ MPa} \quad (4.163)$$

$\sigma_{Hmax5} < \sigma_{HPmax5}$ ,  $\sigma_{Hmax6} < \sigma_{HPmax6}$  ... podmínka splněna pro pastorek i kolo.

## Kontrola z hlediska únavy v ohybu

Pro zamezení vzniku únavového lomu v oblasti paty zubu musí být splněny podmínky ze vztahů (4.68), (4.69), (4.70), (4.71) a (4.72).

$$K_{F5} = K_{F6} = K_A \cdot K_{F\beta} \cdot K_{F\alpha} \cdot K_{FV} = 2,25 \cdot 1,5 \cdot 1,2 = 4,05 \quad (4.164)$$

$$\sigma_{FP5} = \sigma_{FP6} = \frac{\sigma_{Flimb}}{S_{Fmin}} = \frac{740}{1,7} = 435 \text{ MPa} \quad (4.165)$$

$$Y_{\beta} = 1 - \varepsilon_{\beta} \cdot \frac{\beta}{120} = 1 - 2,177 \cdot \frac{27,127}{120} = 0,5079 \quad (4.166)$$

$$Y_{\varepsilon} = \frac{1}{\varepsilon_{\alpha}} = \frac{1}{1,414} = 0,7072 \quad (4.167)$$

$$\begin{aligned} \sigma_{F5} &= \frac{F_{t5}}{b \cdot m_n} \cdot K_{F5} \cdot Y_{FS5} \cdot Y_{\beta} \cdot Y_{\varepsilon} = \frac{1057}{30 \cdot 2} \cdot 4,05 \cdot 4,5 \cdot 0,5079 \cdot 0,7072 \\ &= 115 \text{ MPa} \end{aligned} \quad (4.168)$$

$$\begin{aligned} \sigma_{F6} &= \frac{F_{t6}}{b \cdot m_n} \cdot K_{F6} \cdot Y_{FS6} \cdot Y_{\beta} \cdot Y_{\varepsilon} = \frac{1057}{30 \cdot 2} \cdot 4,05 \cdot 4,28 \cdot 0,5079 \cdot 0,7072 \\ &= 110 \text{ MPa} \end{aligned} \quad (4.169)$$

$\sigma_{F5} < \sigma_{FP5}$ ,  $\sigma_{F6} < \sigma_{FP6}$  ... podmínka splněna pro pastorek i kolo.

## Kontrola statické bezpečnosti v ohybu

Aby jednorázovým působením největšího zatížení nedošlo k trvalé deformaci, či ke vzniku počátečních trhlin v oblasti paty zubu, nebo ke křehkému lomu zubu, musí být splněny podmínky ze vztahů (4.79), (4.80) a (4.81).

$$\sigma_{FSt5} = \sigma_{FSt6} = 2,5 \cdot \sigma_{Flimb} = 2,5 \cdot 740 = 1850 \text{ MPa} \quad (4.170)$$

$$\sigma_{FPmax5} = \sigma_{FPmax6} = 0,8 \cdot \sigma_{FSt5} = 0,8 \cdot 1850 = 1480 \text{ MPa} \quad (4.171)$$

$$\sigma_{Fmax5} = \sigma_{F5} \cdot \frac{F_{t5.1}}{F_{t5}} = 115 \cdot \frac{1163}{1057} = 127 \text{ MPa} \quad (4.172)$$

$$\sigma_{Fmax6} = \sigma_{F6} \cdot \frac{F_{t6.1}}{F_{t6}} = 110 \cdot \frac{1163}{1057} = 121 \text{ MPa} \quad (4.173)$$

$\sigma_{Fmax5} < \sigma_{FPmax5}$ ,  $\sigma_{Fmax6} < \sigma_{FPmax6}$  ... podmínka splněna pro pastorek i kolo.

#### 4.4.7. Pevnostní kontrola hřídelů

Jednou z hlavních součástí převodového ústrojí jsou hřídele. Tyto strojní součásti slouží k přenosu kroutícího momentu z jednoho konce na druhý. Na hřídeli jsou umístěna ozubená kola, jejichž síly způsobují namáhání hřídele na ohyb, krut a tah/tlak (který se zanedbává).

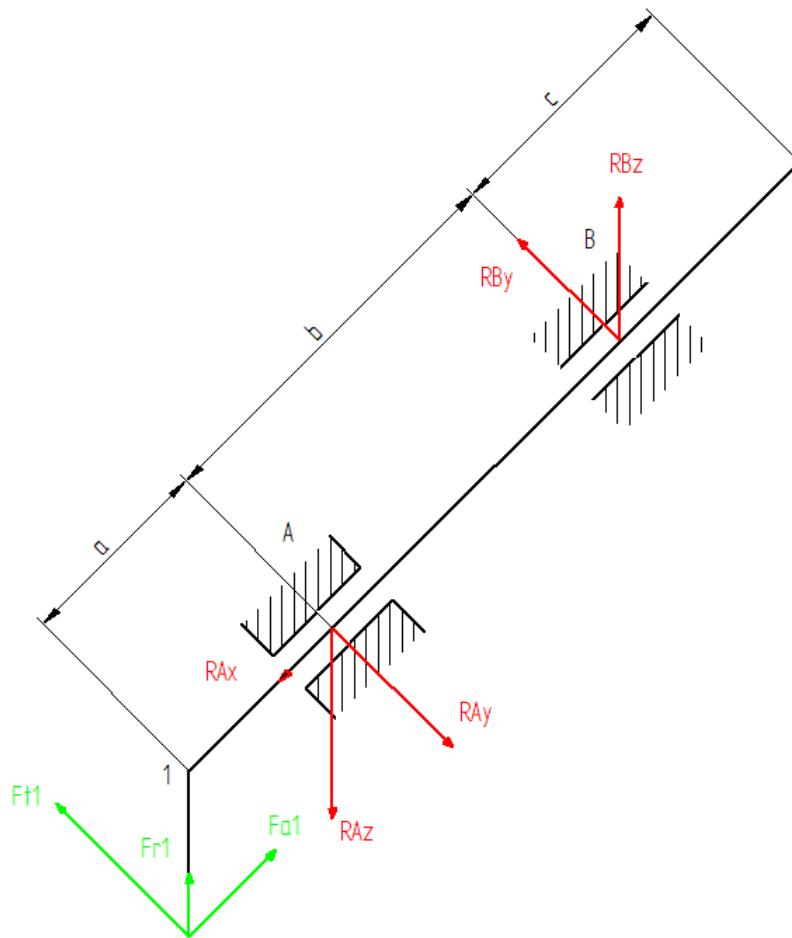
##### 4.4.7.1. Kontrola vstupního hřídele

U tohoto hřídele byl zvolen materiál 16 526 kvůli tomu, že na tomto hřídeli je vyfrézován pastorek kuželového soukolí. Z konstrukčního hlediska byl zvolen minimální průměr hřídele, a ten se následně zkontroluje dle teorie HMH. Požadovaná bezpečnost u hřídelů je zvolena  $k_{PV} = 1,5$ .

Tab. 4.5 Materiálové a konstrukční vlastnosti vstupního hřídele [10]

<b>Vstupní hřídel</b>	
<b>Materiál</b>	16 526 [Označení ČSN]
<b>Tepelné zpracování</b>	Cementováno + kaleno
<b>R<sub>m</sub></b>	1130 [MPa]
<b>R<sub>e</sub> nebo R<sub>p0,2</sub></b>	885 [MPa]
<b>Minimální průměr hřídele d<sub>min</sub></b>	14,3 [mm]
<b>Rozměr a</b>	21,6 [mm]
<b>Rozměr b</b>	46,1 [mm]
<b>Rozměr c</b>	30 [mm]

## Schéma vstupního hřídele



Obr. 4.2 Schéma vstupního hřídele

## Výpočet reakcí

$$R_{Ax} = F_{a1} = 44 \text{ N} \quad (4.174)$$

$$R_{Ay} = F_{t1} \cdot \frac{a+b}{b} = 502 \cdot \frac{21,6 + 46,1}{46,1} = 738 \text{ N} \quad (4.175)$$

$$R_{Az} = F_{r1} \cdot \frac{a+b}{b} = 178 \cdot \frac{21,6 + 46,1}{46,1} = 261 \text{ N} \quad (4.176)$$

$$R_{By} = F_{t1} \cdot \frac{a}{b} = 502 \cdot \frac{21,6}{46,1} = 235 \text{ N} \quad (4.177)$$

$$R_{Bz} = F_{r1} \cdot \frac{a}{b} = 187 \cdot \frac{21,6}{46,1} = 83 \text{ N} \quad (4.178)$$

$$R_{Ar} = \sqrt{R_{Ay}^2 + R_{Az}^2} = \sqrt{738^2 + 261^2} = 783 \text{ N} \quad (4.179)$$

$$R_{Br} = \sqrt{R_{By}^2 + R_{Bz}^2} = \sqrt{235^2 + 83^2} = 250 \text{ N} \quad (4.180)$$

### Ohybové momenty

$$M_{oAy} = F_{t1} \cdot a = 502 \cdot \frac{21,6}{1000} = 10,8 \text{ Nm} \quad (4.181)$$

$$M_{oAz} = F_{r1} \cdot a = 178 \cdot \frac{21,6}{1000} = 3,8 \text{ Nm} \quad (4.182)$$

$$M_{oBy} = 0 \text{ Nm} \quad (4.183)$$

$$M_{oBz} = 0 \text{ Nm} \quad (4.184)$$

$$M_{oA} = \sqrt{M_{oAy}^2 + M_{oAz}^2} = \sqrt{10,8^2 + 3,8^2} = 11,4 \text{ Nm} \quad (4.185)$$

$$M_{oB} = 0 \text{ Nm} \quad (4.186)$$

### Výpočet bezpečnosti statického krutu

Napětí na mezi kluzu v krutu se vypočte z následujícího vztahu:

$$\tau_{kk} = \frac{R_e}{\sqrt{3}} = \frac{885}{\sqrt{3}} = 511 \text{ MPa} \quad (4.187)$$

Napětí v krutu se vypočte z následujícího vztahu:

$$\tau_k = \frac{16 \cdot M_{k1}}{\pi \cdot d_{min}^3} = \frac{16 \cdot 5,82}{\pi \cdot 0,0143^3} = 10,1 \text{ MPa} \quad (4.188)$$

Bezpečnost vůči statickému krutu je poté:

$$k_\tau = \frac{\tau_{kk}}{\tau_k} = \frac{511}{10,1} = 50,6 \quad (4.189)$$

### Výpočet bezpečnosti střídavého ohybu

Mez únavy v ohybu se vypočte z následujícího vztahu:

$$\sigma_{co}^* = 0,43 \cdot R_m = 0,43 \cdot 1130 = 485,9 \text{ MPa} \quad (4.190)$$

Napětí v ohybu se vypočte z následujícího vztahu:

$$\sigma_o = \frac{32 \cdot M_{omax}}{\pi \cdot d_{min}^3} = \frac{32 \cdot 11,4}{\pi \cdot 0,0143^3} = 40 \text{ MPa} \quad (4.191)$$

Bezpečnost vůči střídavému ohybu se vypočte následovně:

$$k_{\sigma} = \frac{\sigma_{co}^*}{\sigma_o} = \frac{485,9}{40} = 12,1 \quad (4.192)$$

**Celková bezpečnost hřídele v nejvíce namáhaném místě**

$$k_C = \sqrt{\frac{k_{\sigma}^2 \cdot k_{\tau}^2}{k_{\sigma}^2 + k_{\tau}^2}} = \sqrt{\frac{12,1^2 \cdot 50,6^2}{12,1^2 + 50,6^2}} = 11,78 \quad (4.193)$$

Hřídel vyhovuje požadované bezpečnosti  $k_{PV} = 1,5$ .

#### 4.4.7.2. Kontrola předlohového hřídele

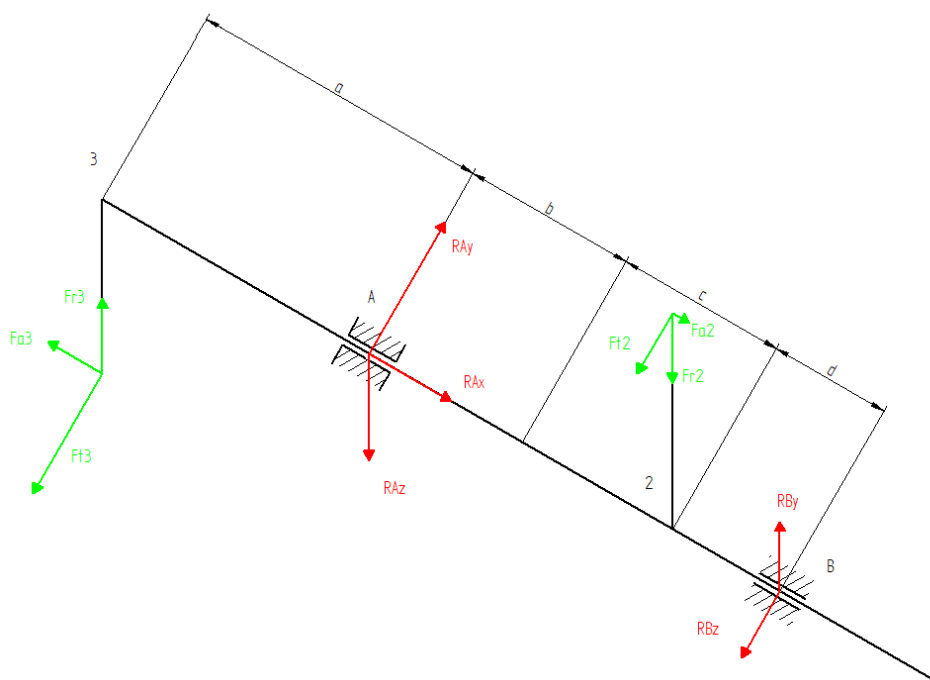
U tohoto hřídele byl zvolen materiál 12 050 kvůli tomu, že tento hřídel je složen ze 2 částí a je netradičně konstruován. Z konstrukčního hlediska byl zvolen vnitřní i vnější průměr hřídele, přičemž se tyto průměry následně zkontrolují dle teorie HMH. Požadovaná bezpečnost u hřídelů je zvolena  $k_{PP} = 1,5$ .

Tab. 4.6 Materiálové vlastnosti předlohového hřídele [6]

<b>Předlohový hřídel</b>	
<b>Materiál</b>	12 050 [Označení ČSN]
<b>Tepelné zpracování</b>	Žádné
<b>R<sub>e</sub> nebo R<sub>p0,2</sub></b>	325 [MPa]
<b>Vnější průměr hřídele</b>	20 [mm]
<b>Vnitřní průměr hřídele</b>	13 [mm]
<b>Rozměr a</b>	38,6 [mm]
<b>Rozměr b</b>	33,68 [mm]
<b>Rozměr c</b>	23,24 [mm]
<b>Rozměr d</b>	33,68 [mm]
<b>Rozměr e</b>	38,6 [mm]

## Schéma předlohového hřídele

Výpočet bezpečnosti se provede pro největší namáhání hřídele, tudíž při zařazení dopředné rychlosti a zařazení 1. rychlostního stupně.



Obr. 4.3 Schéma předlohového hřídele

## Výpočet reakcí

$$R_{Ax} = F_{a3} - F_{a2} = 464 - 178 = 286 \text{ N} \quad (4.194)$$

$$R_{Ay} = \frac{F_{t2} \cdot d + F_{t3} \cdot (a + b + c + d)}{b + c + d} =$$

$$= \frac{502 \cdot 33,68 + 1411 \cdot (38,6 + 33,68 + 23,24 + 33,68)}{33,68 + 23,24 + 33,68} = 2199 \text{ N} \quad (4.195)$$

$$R_{Az} = \frac{-F_{r2} \cdot d + F_{r3} \cdot (a + b + c + d)}{b + c + d} =$$

$$= \frac{-44 \cdot 33,68 + 541 \cdot (38,6 + 33,68 + 23,24 + 33,68)}{33,68 + 23,24 + 33,68} = 755 \text{ N} \quad (4.196)$$

$$R_{By} = R_{Ay} - F_{t3} - F_{t2} = 2199 - 1411 - 502 = 286 \text{ N} \quad (4.197)$$

$$R_{Bz} = R_{Az} - F_{r3} + F_{r2} = 755 - 541 - 44 = 203 \text{ N} \quad (4.198)$$

$$R_{Ar} = \sqrt{R_{Ay}^2 + R_{Az}^2} = \sqrt{2199^2 + 788^2} = 2336 \text{ N} \quad (4.199)$$

$$R_{Br} = \sqrt{R_{By}^2 + R_{Bz}^2} = \sqrt{282^2 + 203^2} = 351 \text{ N} \quad (4.200)$$

### Ohybové momenty

$$M_{oAy} = F_{t3} \cdot a = 1411 \cdot \frac{38,6}{1000} = 54,5 \text{ Nm} \quad (4.201)$$

$$M_{oAz} = F_{r3} \cdot a = 541 \cdot \frac{38,6}{1000} = 20,9 \text{ Nm} \quad (4.202)$$

$$M_{o2y} = R_{By} \cdot d = 286 \cdot \frac{33,68}{1000} = 9,6 \text{ Nm} \quad (4.203)$$

$$M_{o2z} = R_{Bz} \cdot d = 203 \cdot \frac{33,68}{1000} = 6,8 \text{ Nm} \quad (4.204)$$

$$M_{oA} = \sqrt{M_{oAy}^2 + M_{oAz}^2} = \sqrt{54,5^2 + 20,9^2} = 58,4 \text{ Nm} \quad (4.205)$$

$$M_{o2} = \sqrt{M_{o2y}^2 + M_{o2z}^2} = \sqrt{9,6^2 + 6,8^2} = 11,8 \text{ Nm} \quad (4.206)$$

### Výpočet bezpečnosti statického krutu

Napětí na mezi kluzu v krutu se vypočte z následujícího vztahu:

$$\tau_{kk} = \frac{R_e}{\sqrt{3}} = \frac{325}{\sqrt{3}} = 187 \text{ MPa} \quad (4.207)$$

Napětí v krutu se vypočte z následujícího vztahu:

$$\tau_k = \frac{16 \cdot M_{k2}}{\pi \cdot d_{in}^3} = \frac{16 \cdot 23,760}{\pi \cdot 0,013^3} = 55 \text{ MPa} \quad (4.208)$$

Bezpečnost vůči statickému krutu je poté:

$$k_\tau = \frac{\tau_{kk}}{\tau_k} = \frac{187}{55} = 3,4 \quad (4.209)$$

### Výpočet bezpečnosti střídavého ohybu

Mez únavy v ohybu se vypočte z následujícího vztahu:

$$\sigma_{co}^* = 0,43 \cdot R_m = 0,43 \cdot 325 = 140 \text{ MPa} \quad (4.210)$$

Napětí v ohybu se vypočte z následujícího vztahu:

$$\sigma_o = \frac{32 \cdot M_{omax}}{\pi \cdot d_{min}^3} = \frac{32 \cdot 58,4}{\pi \cdot 0,02^3} = 74 \text{ MPa} \quad (4.211)$$



Poté bezpečnost vůči střídavému ohybu se vypočte následovně:

$$k_{\sigma} = \frac{\sigma_{co}^*}{\sigma_o} = \frac{140}{74} = 1,89 \quad (4.212)$$

**Celková bezpečnost hřídele v nejvíce namáhaném místě**

$$k_c = \sqrt{\frac{k_{\sigma}^2 \cdot k_{\tau}^2}{k_{\sigma}^2 + k_{\tau}^2}} = \sqrt{\frac{1,89^2 \cdot 3,4^2}{1,89^2 + 3,4^2}} = 1,65 \quad (4.213)$$

Hřídel vyhovuje požadované bezpečnosti  $k_{pp} = 1,5$ .

**Porovnání sil a bezpečností při všech zařazených stupních**

*Tab. 4.7 Síly a bezpečnosti v celém převodovém ústrojí*

	<b>První stupeň Dopředná rychlost</b>	<b>První stupeň Zpáteční rychlost</b>	<b>Druhý stupeň Dopředná rychlost</b>	<b>Druhý stupeň Zpáteční rychlost</b>
<b>Maximální radiální síla [N]</b>	2324	2443	1916	1546
<b>Maximální axiální síla [N]</b>	507	420	585	498
<b>Celková bezpečnost [-]</b>	1,55	1,55	1,82	1,82

#### 4.4.7.3. Kontrola výstupního hřídele

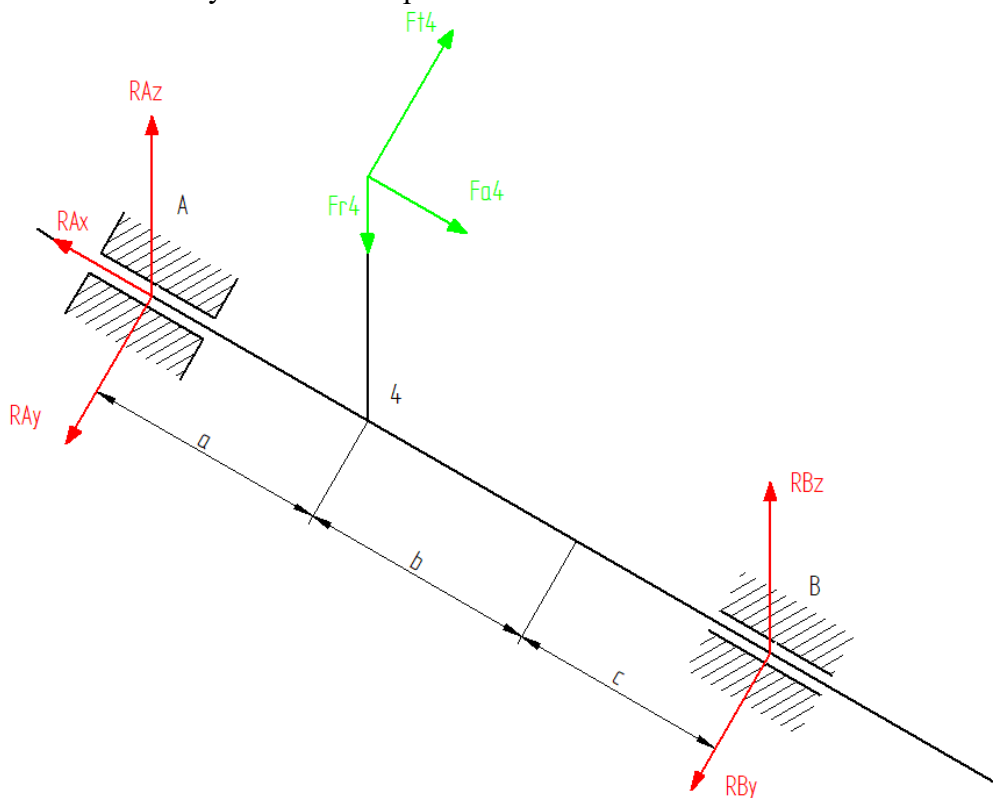
U tohoto hřídele byl zvolen materiál 11 523, jelikož tento hřídel je méně namáhán. Z konstrukčního hlediska byl zvolen minimální průměr hřídele, jenž se následně zkontroluje dle teorie HMH. Požadovaná bezpečnost u hřídelů je zvolena  $k_{pp} = 1,5$ .

Tab. 4.8 Materiálové vlastnosti předlohového hřídele [6]

Výstupní hřídel	
Materiál	11 523 [Označení ČSN]
Tepelné zpracování	Žádné
$R_e$ nebo $R_{p0,2}$	260 [MPa]
Minimální průměr hřídele $d_{min}$	50 [mm]
Rozměr a	36 [mm]
Rozměr b	180 [mm]
Rozměr c	36 [mm]

#### Schéma výstupního hřídele

Výpočet pro bezpečnost se provede pro největší namáhání hřídele, tedy při zařazení dopředné rychlosti a zařazení 1. rychlostního stupně.



Obr. 4.4 Schéma výstupního hřídele

## Výpočet reakcí

$$R_{Ax} = F_{a4} = 464 \text{ N} \quad (4.214)$$

$$R_{Ay} = \frac{F_{t4} \cdot (b + a)}{a + b + c} = \frac{1411 \cdot (180 + 36)}{36 + 180 + 36} = 1209 \text{ N} \quad (4.215)$$

$$R_{Az} = \frac{F_{r4} \cdot (b + a)}{a + b + c} = \frac{541 \cdot (180 + 36)}{36 + 180 + 36} = 464 \text{ N} \quad (4.216)$$

$$R_{By} = F_{t4} - R_{Ay} = 1411 - 1209 = 202 \text{ N} \quad (4.217)$$

$$R_{Bz} = F_{r4} - R_{Az} = 541 - 464 = 77 \text{ N} \quad (4.218)$$

$$R_{Ar} = \sqrt{R_{Ay}^2 + R_{Az}^2} = \sqrt{1209^2 + 464^2} = 1295 \text{ N} \quad (4.219)$$

$$R_{Br} = \sqrt{R_{By}^2 + R_{Bz}^2} = \sqrt{202^2 + 77^2} = 216 \text{ N} \quad (4.220)$$

## Ohybové momenty

$$M_{o4y} = R_{Ay} \cdot a = 1209 \cdot \frac{36}{1000} = 43,5 \text{ Nm} \quad (4.221)$$

$$M_{o4z} = R_{Az} \cdot a = 464 \cdot \frac{36}{1000} = 16,7 \text{ Nm} \quad (4.222)$$

$$M_{o4} = \sqrt{M_{o4y}^2 + M_{o4z}^2} = \sqrt{43,5^2 + 16,7^2} = 46,6 \text{ Nm} \quad (4.223)$$

## Výpočet bezpečnosti statického krutu

Napětí na mezi kluzu v krutu se vypočte z následujícího vztahu:

$$\tau_{kk} = \frac{R_e}{\sqrt{3}} = \frac{260}{\sqrt{3}} = 150 \text{ MPa} \quad (4.224)$$

Napětí v krutu se vypočte z následujícího vztahu:

$$\tau_k = \frac{16 \cdot M_{k3}}{\pi \cdot d_{min}^3} = \frac{16 \cdot 117,33}{\pi \cdot 0,05^3} = 5 \text{ MPa} \quad (4.225)$$

Bezpečnost vůči statickému krutu je:

$$k_\tau = \frac{\tau_{kk}}{\tau_k} = \frac{150}{5} = 30 \quad (4.226)$$

### Výpočet bezpečnosti střídavého ohybu

Mez únavy v ohybu se vypočte z následujícího vztahu:

$$\sigma_{co}^* = 0,43 \cdot R_m = 0,43 \cdot 260 = 112 \text{ MPa} \quad (4.227)$$

Napětí v ohybu se vypočte z následujícího vztahu:

$$\sigma_o = \frac{32 \cdot M_{omax}}{\pi \cdot d_{min}^3} = \frac{32 \cdot 46,6}{\pi \cdot 0,05^3} = 4 \text{ MPa} \quad (4.228)$$

Bezpečnost vůči střídavému ohybu se vypočte následovně:

$$k_\sigma = \frac{\sigma_{co}^*}{\sigma_o} = \frac{112}{4} = 28 \quad (4.229)$$

### Celková bezpečnost hřídele v nejvíce namáhaném místě

$$k_c = \sqrt{\frac{k_\sigma^2 \cdot k_\tau^2}{k_\sigma^2 + k_\tau^2}} = \sqrt{\frac{28^2 \cdot 30^2}{28^2 + 30^2}} = 20,47 \quad (4.230)$$

Hřídel vyhovuje požadované bezpečnosti  $k_{pp} = 1,5$ .

#### 4.4.8. Návrh ložisek

Pro uložení převodového ústrojí do převodové skříně je nutné snížit tření mezi převodovou skříní a hřídelí. Pro tento účel slouží ložiska, u kterých se výpočtem kontroluje požadovaná životnost. Tato životnost byla zvolena  $L_p = 20000 h$ .

##### 4.4.8.1. Ložiska vstupního hřídele

Tab. 4.9 Vlastnosti ložiska vstupního hřídele [9]

Ložisko vstupního hřídele	
Výrobce	SKF
Typ ložiska	Kuželíkové
Ložisko	30202
Základní dynamická únosnost C	18,5 [kN]
Základní statická únosnost C <sub>0</sub>	14,6 [kN]
Součinitel e	0,35
Součinitel Y	1,7
Součinitel Y <sub>0</sub>	0,9

##### Maximální radiální síla vstupního hřídele

$$F_R = R_{Ar} = 783 N \quad (4.231)$$

##### Maximální axiální síla vstupního hřídele

$$F_A = R_{Ax} = 44 N \quad (4.232)$$

##### Poměr axiální a radiální síly

$$\frac{F_A}{F_R} = \frac{44}{783} = 0,056 \quad (4.233)$$

Tento poměr je menší, nežli koeficient  $e$ , proto se ekvivalentní dynamické zatížení ložiska vypočte podle následujícího vztahu:

$$P = F_R = 783 N \quad (4.234)$$

### Základní trvanlivost ložiska

$$L_h = \frac{10^6}{60 \cdot n_1} \cdot \left(\frac{C}{P}\right)^{\frac{10}{3}} = \frac{10^6}{60 \cdot 3600} \cdot \left(\frac{18500}{783}\right)^{\frac{10}{3}} = 175528 \text{ h} \quad (4.235)$$

$L_h > L_p \dots$  podmínka je splněna pro vstupní hřídel.

#### 4.4.8.2. Ložiska předlohového hřídele

Tab. 4.10 Vlastnosti ložiska předlohového hřídele [9]

Ložisko předlohového hřídele	
Výrobce	SKF
Typ ložiska	Kuličkové radiální
Ložisko	6306 – 2RS1
Základní dynamická únosnost C	29,6 [kN]
Základní statická únosnost C <sub>0</sub>	16 [kN]

#### Maximální radiální síla předlohového hřídele

Tato síla odpovídá zařazenému prvnímu stupni a zpáteční rychlosti:

$$F_R = R_{Ar} = 2443 \text{ N} \quad (4.236)$$

#### Maximální axiální síla vstupního hřídele

Síla níže odpovídá axiální síle působící při zařazeném druhém stupni a dopředné rychlosti:

$$F_A = R_{Ax} = 585 \text{ N} \quad (4.237)$$

#### Poměr axiální síly a základní statické únosnosti

$$\frac{F_A}{C_0} = \frac{585}{16000} = 0,037 \quad (4.238)$$

Pro normální radiální vůli tohoto poměru odpovídají následující koeficienty:  
 $e = 0,24, X = 0,56, Y = 1,8.$

### Poměr axiální a radiální síly

$$\frac{F_A}{F_R} = \frac{585}{2443} = 0,239 \quad (4.239)$$

Tento poměr je menší nežli koeficient  $e$ , proto se ekvivalentní dynamické zatížení ložiska vypočte podle následujícího vztahu:

$$P = F = \sqrt{F_R^2 + F_A^2} = \sqrt{2443^2 + 585^2} = 2512 \text{ N} \quad (4.240)$$

### Základní trvanlivost ložiska

$$L_h = \frac{10^6}{60 \cdot n_2} \cdot \left(\frac{C}{P}\right)^3 = \frac{10^6}{60 \cdot 884,22} \cdot \left(\frac{29600}{2512}\right)^3 = 30826 \text{ h} \quad (4.241)$$

$L_h > L_p \dots$  podmínka je splněna pro předložený hřídel.

#### 4.4.8.3. Ložiska výstupního hřídele

Tab. 4.11 Vlastnosti ložiska výstupního hřídele [9]

Ložisko výstupního hřídele	
Výrobce	SKF
Typ ložiska	Kuličkové radiální
Ložisko	6212 – 2RS1
Základní dynamická únosnost C	55,3 [kN]
Základní statická únosnost C <sub>0</sub>	36 [kN]

### Maximální radiální síla předloženého hřídele

Tato síla odpovídá zařazenému prvnímu stupni a dopředné rychlosti:

$$F_R = R_{Ar} = 1295 \text{ N} \quad (4.242)$$

### Maximální axiální síla vstupního hřídele

Tato síla odpovídá axiální síle působící při zařazeném druhém stupni a dopředné rychlosti:

$$F_A = R_{Ax} = 542 \text{ N} \quad (4.243)$$

### Poměr axiální síly a základní statické únosnosti

$$\frac{F_A}{C_0} = \frac{542}{36000} = 0,015 \quad (4.244)$$

Pro normální radiální vůli tohoto poměru odpovídají následující koeficienty:  $e = 0,22$ ,  $X = 0,56$ ,  $Y = 2$ .

### Poměr axiální a radiální síly

$$\frac{F_A}{F_R} = \frac{542}{1295} = 0,42 \quad (4.245)$$

Tento poměr je menší nežli koeficient  $e$ , proto se ekvivalentní dynamické zatížení ložiska vypočte podle následujícího vztahu:

$$P = F = \sqrt{F_R^2 + F_A^2} = \sqrt{1295^2 + 542^2} = 1404 \text{ N} \quad (4.246)$$

### Základní trvanlivost ložiska

Pro tento výpočet jsou použity redukované otáčky z důvodů nižší vypočítané trvanlivosti.

$$L_h = \frac{10^6}{60 \cdot n_{3r}} \cdot \left(\frac{C}{P}\right)^3 = \frac{10^6}{60 \cdot 256,30} \cdot \left(\frac{55300}{1404}\right)^3 = 3976761 \text{ h} \quad (4.247)$$

$L_h > L_p \dots$  podmínka je splněna pro výstupní hřídel.



#### 4.4.9. Kontrola spojů hřídelů a kol

Pro připojení součástí uvnitř i vně převodového ústrojí je nutné použít různé hřídelové spoje. Jedná se o spojení perem a kuželový svěrný spoj. Tyto spoje se kontrolují na dovolený tlak ve stykové ploše.

##### 4.4.9.1. Vstupní hřídel

Pro spojení rozběhové spojky ke vstupnímu hřídeli je použit kuželový svěrný spoj [7]. Byly zvoleny následující parametry hřídele v místě spojení  $d_i = 13 \text{ mm}$ ,  $d_o = 15 \text{ mm}$ ,  $l = 20 \text{ mm}$ . Pro ocelový náboj je součinitel smykového tření  $f = 0,15$  a bezpečnost přenosu momentu  $k_w = 1,2$ . Spoj je přitlačen maticí M10 s nákrůžkem o rozměru  $D_o = 22 \text{ mm}$ . Pro závit M10 jsou hodnoty středního průměru závitu  $d_2 = 9,026 \text{ mm}$ , stoupání  $P = 1,5 \text{ mm}$  a průměru zahloubení  $d_z = 13 \text{ mm}$ . Součinitel tření v závitě, mezi maticí a nábojem  $f_p = 0,18$ .

Střední průměr kužele:

$$d_s = \frac{d_i + d_o}{2} = \frac{13 + 15}{2} = 14 \text{ mm} \quad (4.248)$$

Poloviční vrcholový úhel kužele:

$$\delta = \arctan \frac{d_o - d_i}{2 \cdot l} = \arctan \frac{15 - 13}{2 \cdot 20} = 2,862^\circ \quad (4.249)$$

Minimální tlak ve styčné ploše spoje:

$$p_{min} = \frac{2 \cdot k_w \cdot M_{k1} \cdot \cos \delta}{\pi \cdot f \cdot l \cdot d_s^2} = \frac{2 \cdot 1,2 \cdot 5,84 \cdot \cos 2,862}{\pi \cdot 0,15 \cdot 20 \cdot 14^2} = 7,58 \text{ MPa} \quad (4.250)$$

Montážní síla vytvářející sevření hřídele a náboje:

$$\begin{aligned} F_Q = F_M &= \pi \cdot p_{min} \cdot l \cdot d_s \cdot (f + \tan \delta) = \\ &= \pi \cdot 7,58 \cdot 20 \cdot 14 \cdot (0,15 + \tan 2,862) = 1334 \text{ N} \end{aligned} \quad (4.251)$$

Třecí roztečný průměr:

$$D_p = \frac{d_z + D_o}{2} = \frac{11 + 22}{2} = 16,5 \text{ mm} \quad (4.252)$$

Úhel stoupání závitu:

$$\gamma = \arctan \frac{P}{\pi \cdot d_2} = \arctan \frac{1,5}{\pi \cdot 9,026} = 3,028^\circ \quad (4.253)$$

Třecí úhel v závitu:

$$\varphi' = \arctan \frac{f_p}{\cos\left(\frac{60^\circ}{2}\right)} = \arctan \frac{0,18}{\cos\left(\frac{60^\circ}{2}\right)} = 11,742^\circ \quad (4.254)$$

Utahovací moment nutný pro vyvození montážní síly:

$$\begin{aligned} M_u &= \frac{F_Q}{2} \cdot (d_2 \tan(\gamma + \varphi') + f_p \cdot D_p) = \\ &= \frac{1334}{2} \cdot (9,026 \tan(3,028 + 11,742) + 0,18 \cdot 16,5) = 3,6 \text{ Nm} \end{aligned} \quad (4.255)$$

#### 4.4.9.2. Spoj selektoru a kuželového kola

Pro spojení selektoru rychlosti s předlohovým hřídelem je použito pero 10 x 8 dle normy ČSN 02 2562 [5] pro průměr hřídele v místě spojení  $d = 35 \text{ mm}$ . Pro posuvný ocelový náboj je dovolený tlak  $p_D = 80 \text{ MPa}$ . Minimální délka pera se vypočítá z následujícího vztahu:

$$l_{min} \geq \frac{4000 \cdot M_{k2}}{p_D \cdot h \cdot d} = \frac{4000 \cdot 23,76}{80 \cdot 8 \cdot 35} = 4,243 \text{ mm} \quad (4.256)$$

Je nutné také dodržet následující vztah pro účinnou délku pera:

$$l_{pmax} \leq 1,2 \cdot d = 1,2 \cdot 35 = 42 \text{ mm} \quad (4.257)$$

Zvolena byla účinná délka pera  $l_p = 14 \text{ mm}$ , neboť šířka zubové spojky, která přenáší kroutící moment je  $14 \text{ mm}$ .

Tlak ve styčné ploše spoje se vypočítá následovně:

$$p = \frac{4000 \cdot M_{k2}}{h \cdot d \cdot l_p} = \frac{4000 \cdot 23,76}{8 \cdot 35 \cdot 14} = 24,24 \text{ MPa} \quad (4.258)$$

Podmínka  $p_D \geq p$  je splněna, tudíž tento spoj vyhovuje.

#### 4.4.9.3. Spoj dutého hřídele s vnitřním hřídelem v předlokové části

Pro spojení dutého hřídele s vnitřním hřídelem je použito rovnoboké drážkování dle normy ČSN 01 4940 [5]. Byla zvolena střední řada o rozměrech 8 x 13 x 16. Pro tuto řadu je účinná plocha všech drážek na jednotku délky náboje  $f' = 4 \text{ mm}^2$ . Pro posuvný náboj a pro posuvnost bez zatížení je dovolený tlak pro proměnlivé zatížení a netvrzené boky zubů následující:  $p_D = 20 \text{ MPa}$ . Délka dutého hřídele byla zvolena  $l = 210 \text{ mm}$ .

Tlak ve styčné ploše spoje se vypočítá následovně:

$$p = \frac{4000 \cdot M_{k2}}{(D + d) \cdot l \cdot f'} = \frac{4000 \cdot 23,76}{(16 + 13) \cdot 210 \cdot 4} = 3,90 \text{ MPa} \quad (4.259)$$

Podmínka  $p_D \geq p$  je splněna, tudíž tento spoj vyhovuje.

#### 4.4.9.4. Spoj ozubených kol a výstupního hřídele

Pro spojení ozubených kol s výstupním hřídelem je použito pero 18 x 11 dle normy ČSN 02 2562 [5] pro průměr hřídele v místě spojení  $d = 60 \text{ mm}$ . Pro neposuvný ocelový náboj je dovolený tlak  $p_D = 120 \text{ MPa}$ . Výpočet bude proveden pro vyšší z obou kroučících momentů. Minimální délka pera se vypočítá z následujícího vztahu:

$$l_{min} \geq \frac{4000 \cdot M_{k3}}{p_D \cdot h \cdot d} = \frac{4000 \cdot 117,33}{120 \cdot 11 \cdot 60} = 5,926 \text{ mm} \quad (4.260)$$

Je nutné také dodržet následující vztah pro účinnou délku pera:

$$l_{pmax} \leq 1,2 \cdot d = 1,2 \cdot 60 = 72 \text{ mm} \quad (4.261)$$

Zvolena byla účinná délka pera  $l_p = 30 \text{ mm}$ , neboť šířka ozubeného kola, která přenáší kroučící moment je  $30 \text{ mm}$ .

Tlak ve styčné ploše spoje se vypočítá následovně:

$$p = \frac{4000 \cdot M_{k3}}{h \cdot d \cdot l_p} = \frac{4000 \cdot 117,33}{11 \cdot 60 \cdot 30} = 23,70 \text{ MPa} \quad (4.262)$$

Podmínka  $p_D \geq p$  je splněna, tudíž tento spoj vyhovuje.

#### 4.4.9.5. Spoj výstupního hřídele

Pro spojení výstupního zařízení s výstupním hřídelem je použito pero 14 x 9 dle normy ČSN 02 2562 [5] pro průměr hřídele v místě spojení  $d = 50 \text{ mm}$ . Pro neposuvný ocelový náboj je dovolený tlak  $p_D = 120 \text{ MPa}$ . Výpočet bude proveden pro vyšší z obou kroutících momentů. Minimální délka pera se vypočítá z následujícího vztahu:

$$l_{min} \geq \frac{4000 \cdot M_{k3}}{p_D \cdot h \cdot d} = \frac{4000 \cdot 117,33}{120 \cdot 9 \cdot 50} = 8,69 \text{ mm} \quad (4.263)$$

Je nutné také dodržet následující vztah pro účinnou délku pera:

$$l_{pmax} \leq 1,2 \cdot d = 1,2 \cdot 50 = 60 \text{ mm} \quad (4.264)$$

Zvolena byla účinná délka pera  $l_p = 31 \text{ mm}$ .

Tlak ve styčné ploše spoje se vypočítá následovně:

$$p = \frac{4000 \cdot M_{k3}}{h \cdot d \cdot l_p} = \frac{4000 \cdot 117,33}{9 \cdot 50 \cdot 31} = 33,64 \text{ MPa} \quad (4.265)$$

Podmínka  $p_D \geq p$  je splněna, tudíž tento spoj vyhovuje.

#### 4.4.9.6. Kontrola zubové spojky kuželových kol

Pro změnu smyslu otáčení výstupního hřídele je nutné měnit to, jaké kuželové ozubené kolo bude v záběru se vstupním hřídelem. Pro tento účel je mezi těmito koly umístěna čelní zubová spojka. Tato spojka umožňuje přenos kroutícího momentu pomocí tvarového styku. Pro tyto spojky se provádí kontrola na otláčení boků zubů a na střih zubů [8]. Pro výpočet je uvažován dovolený tlak  $p_D = 30 \text{ MPa}$  a dovolené napětí ve smyku  $\tau_D = 80 \text{ MPa}$  (pro ocel 11 600) [6].

Pro výpočet jsou použity rozměry z 3D modelu, a to styková plocha jednoho zubu  $S_{Styk1} = 52,21 \text{ mm}^2$ , plocha jednoho zubu namáhaná na smyk  $S_{Smyk1} = 65,09 \text{ mm}^2$ , průměr, na kterém působí síla  $d_F = 57 \text{ mm}$  a počet zubů  $i = 6$ .

Pro tlak ve stykové ploše platí následující vztah:

$$p = \frac{2000 \cdot M_{k2}}{d_F \cdot S_{Styk1} \cdot i} = \frac{2000 \cdot 23,76}{57 \cdot 52,21 \cdot 6} = 2,66 \text{ MPa} \quad (4.266)$$

Podmínka  $p_D \geq p$  je splněna.

Pro smykové namáhání platí následující vztah:

$$\tau_S = \frac{2000 \cdot M_{k2}}{d_F \cdot S_{Smyk1} \cdot i} = \frac{2000 \cdot 23,76}{57 \cdot 65,09 \cdot 6} = 2,13 \text{ MPa} \quad (4.267)$$

Podmínka  $\tau_D \geq \tau_S$  je splněna.

#### 4.4.9.7. Kontrola zubové spojky prvního a druhého stupně

Pro změnu otáček výstupního hřídele je nutné měnit to, jaké čelní šikmé ozubené kolo bude v záběru s předlohovým hřídelem. Pro tento účel je mezi těmito koly umístěna zubová spojka. Tato spojka umožňuje přenos kroutícího momentu pomocí tvarového styku. Pro tyto spojky se provádí kontrola na otláčení boků zubů a na střih zubů [7]. Pro výpočet je uvažován dovolený tlak  $p_D = 30 \text{ MPa}$  a dovolené napětí ve smyku  $\tau_D = 80 \text{ MPa}$  (pro ocel 11 600) [6].

Pro výpočet jsou použity rozměry z 3D modelu, takže styková plocha jednoho zubu  $S_{Styk1} = 16,79 \text{ mm}^2$ , plocha jednoho zubu namáhaná na smyk  $S_{Smyk1} = 21,86 \text{ mm}^2$ , průměr, na kterém působí síla  $d_F = 22,5 \text{ mm}$  a počet zubů  $i = 6$ .

Pro tlak ve stykové ploše platí následující vztah:

$$p = \frac{2000 \cdot M_{k2}}{d_F \cdot S_{Styk1} \cdot i} = \frac{2000 \cdot 23,76}{22,5 \cdot 16,79 \cdot 6} = 20,96 \text{ MPa} \quad (4.268)$$

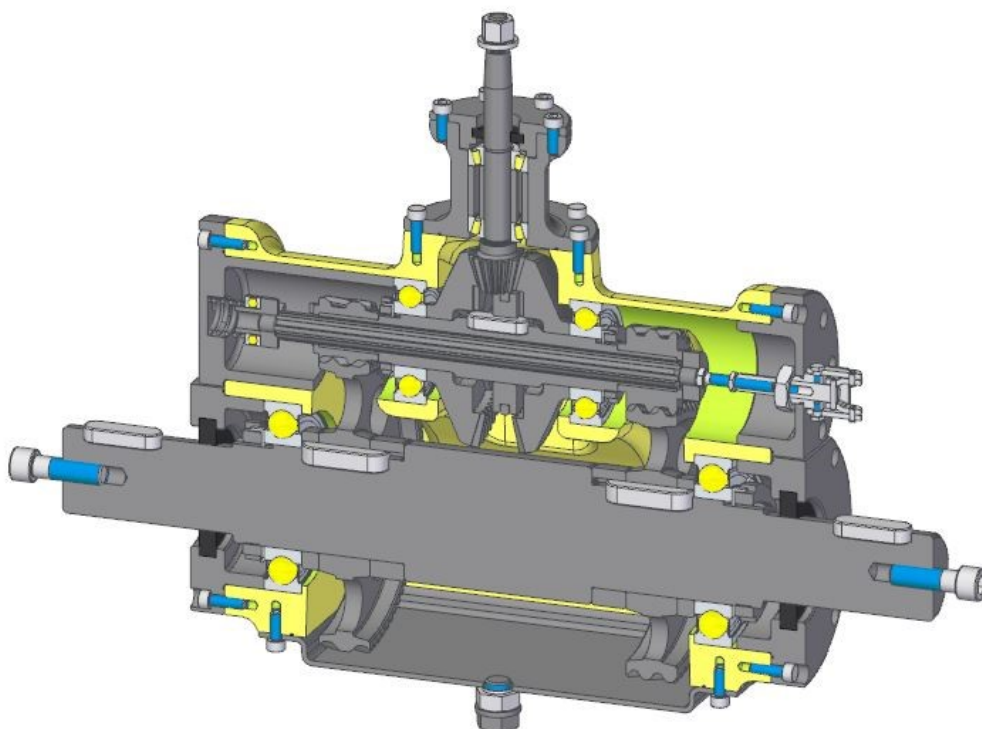
Podmínka  $p_D \geq p$  je splněna.

Pro smykové namáhání platí následující vztah:

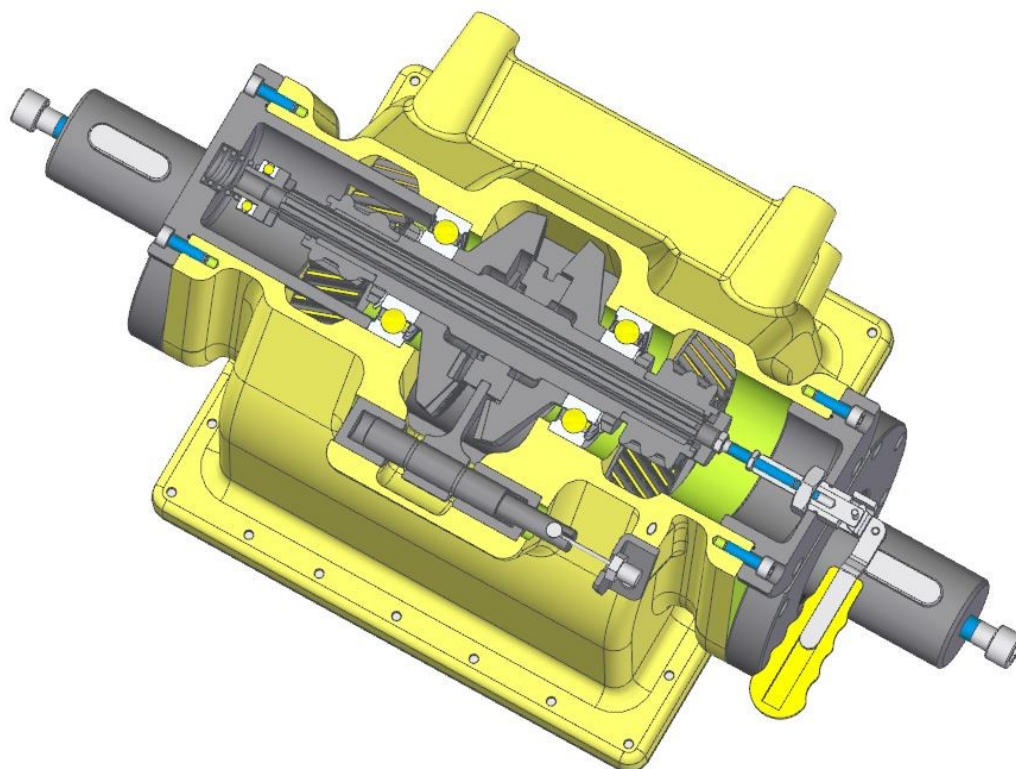
$$\tau_S = \frac{2000 \cdot M_{k2}}{d_F \cdot S_{Smyk1} \cdot i} = \frac{2000 \cdot 23,76}{22,5 \cdot 21,86 \cdot 6} = 16,10 \text{ MPa} \quad (4.269)$$

Podmínka  $\tau_D \geq \tau_S$  je splněna.

#### 4.4.10. 3D model převodového ústrojí



*Obr. 4.5 3D model převodového ústrojí detail 1*



*Obr. 4.6 3D model převodového ústrojí detail 2*

## 5. Ekonomické zhodnocení

V následující části práce dojde ke zhodnocení ekonomického hlediska převodového ústrojí rotačního kypřiče. Cílem je co nejpřesněji odhadnout pořizovací cenu tohoto zařízení. Tabulka je rozdělena na nakupované (normalizované) a vyráběné (nenormalizované) součásti. V ceně vyráběných součástí je zahrnut materiál, výrobní čas, tepelné zpracování a povrchové úpravy. Cenová nabídka nenormalizovaných součástí je vytvořena firmou JIZERSKOHORSKÁ STROJÍRNA, spol. s r. o., pro výrobu prototypového kusu. Pro výrobu větší série tohoto převodového ústrojí by byly ceny výrazně nižší.

Tab. 5.1 Normalizované součásti – ekonomické zhodnocení

<b>Normalizované součásti</b>			
<b>Součást</b>	<b>Ks</b>	<b>Cena/ks [Kč]</b>	<b>Cena [Kč]</b>
Spalovací motor VARI	1	4 235,-	4 235,-
Ložisko SKF 6212 - 2RS1	2	631,62	1263,24
Ložisko SKF 6306 - 2RS1	2	234,14	468,28
Ložisko SKF 30202	2	411,40	822,80
Ložisko SKF 51102	1	294,65	294,65
Vratní pružina 1x15x25x6,5	1	12,-	12,-
Vratná pružina 2,5x22x40x6	1	12,-	12,-
JC METAL – upínka 340	1	526,35	526,35
Pero těsné DIN 6885A 10h9x8x35	1	14,39	14,39
Pero těsné DIN 6885A 14h9x9x45	2	9,41	18,82
Pero těsné DIN 6885A 18h9x11x50	2	16,61	33,22
Gufero NBR GP – 25x35x5 DIN 3760	1	23,34	23,34
Gufero NBR GP – 50x80x10 DIN 3760	2	63,75	127,50
Pojistní kroužek 15x1,0 DIN 471	1	0,51	0,51
Pojistní kroužek 16x1,0 DIN 471	2	0,41	0,82
Matice navařovací M14 DIN 929	1	3,53	3,53
Matice s nákrůžkem M10 DIN 6331	1	6,13	6,13
Matice válcová se zářezy M30x1.5 DIN 1804	2	124,63	249,26
Matice válcová se zářezy M60x1.5 DIN 1804	2	466,58	933,16
Podložka MB 6 DIN 5406	2	3,12	6,24
Podložka MB 12 DIN 5406	2	9,88	19,76
Šroub M6x16 DIN 912	24	0,59	14,16
Šroub M6x20 DIN 912	42	0,51	21,42
Šroub M12x40 DIN 912	2	4,13	8,26
O-kroužek 67x1,5 NBR70 DIN 3771	1	9,28	9,28
O-kroužek 75x1,5 NBR70 DIN 3771	2	11,23	22,46
O-kroužek 112x1,5 NBR70 DIN 3771	2	15,91	31,82
Těsnící kruhový profil 1,5 NBR70 DIN 3771	1	9,44	9,44
<b>Celkem za nakupované (normalizované) součásti</b>			<b>9187,84</b>



Tab. 5.2 Nenormalizované součásti – ekonomické zhodnocení

<b>Vyráběné součásti</b>			
<b>Číslo součásti</b>	<b>Ks</b>	<b>Cena/ks [Kč]</b>	<b>Cena [Kč]</b>
KK-BP-01-001 – Tělo skříně	1	20000,-	20000,-
KK-BP-01-002 – Horní příruba skříně	1	3000,-	3000,-
KK-BP-01-003 – Olejová vana	1	1500,-	1500,-
KK-BP-01-004 – Příruba vstupního hřídele	1	2000,-	2000,-
KK-BP-01-005 – Příruba předlohového hřídele – levá	1	3000,-	3000,-
KK-BP-01-006 – Příruba předlohového hřídele – pravá	1	2000,-	2000,-
KK-BP-01-007 – Příruba výstupního hřídele – levá	1	2500,-	2500,-
KK-BP-01-008 – Příruba výstupního hřídele – pravá	1	2500,-	2500,-
KK-BP-01-009 – Vstupní hřídel	1	4000,-	4000,-
KK-BP-01-010 – Vymezovací trubka 1	1	1000,-	1000,-
KK-BP-01-011 – Vymezovací trubka 2	1	1000,-	1000,-
KK-BP-01-012 – Kuželové kolo	2	4500,-	9000,-
KK-BP-01-013 – Selektor	1	4000,-	4000,-
KK-BP-01-014 – Dutý hřídel	1	3500,-	3500,-
KK-BP-01-015 – Vnitřní hřídel	1	2000,-	2000,-
KK-BP-01-016 – Zubová spojka levá	1	2500,-	2500,-
KK-BP-01-017 – Zubová spojka pravá	1	2500,-	2500,-
KK-BP-01-018 – Ozubené kolo 16 zubů	1	3500,-	3500,-
KK-BP-01-019 – Ozubené kolo 20 zubů	1	3500,-	3500,-
KK-BP-01-020 – Ozubené kolo 69 zubů	1	4500,-	4500,-
KK-BP-01-021 – Ozubené kolo 79 zubů	1	4500,-	4500,-
KK-BP-01-022 – Výstupní hřídel	1	5000,-	5000,-
KK-BP-01-023 – Vymezovací trubka 3	2	1000,-	2000,-
KK-BP-01-024 – Vymezovací trubka 4	2	1000,-	2000,-
KK-BP-01-025 – Osa řazení	1	2000,-	2000,-
KK-BP-01-026 – Vidlice řazení	1	3000,-	3000,-
KK-BP-01-027 – Kluzné pouzdro 1	1	1000,-	1000,-
KK-BP-01-028 – Kluzné pouzdro 2	1	1000,-	1000,-
KK-BP-01-029 – Držák bowdenu	1	500,-	500,-
KK-BP-01-030 - Vypouštěcí šroub M14	1	500,-	500,-
<b>Celkem za vyráběné (nenormalizované) součásti</b>			<b>99000,-</b>

Všechny ceny v tabulkách (Tab. 5.1, Tab. 5.2) jsou uvedeny včetně DPH. Je patrné, že cena prototypového zařízení činí 108 187,84 Kč. V porovnání s rotačním kypřičem VARI KF-140 je tato cena výrazně vyšší, toto řešení ovšem neposkytuje možnost reverzace a zvýšení otáček a také se jedná o cenu výroby prototypu.

## 6. Závěr

Cílem bakalářské práce bylo navrhnout převodové ústrojí rotavátoru s možností reverzace chodu a zvýšení výstupních otáček. Návrh byl proveden pro daný spalovací agregát a dané výstupní parametry. Koncepce konstrukce celého ústrojí vychází ze zkušeností získaných při studiu na Střední průmyslové škole strojní v Liberci a na Fakultě strojní Technické univerzity v Liberci, a také díky zkušenostem získaných během práce ve firmě JIZERSKOHORSKÁ STROJÍRNA spol. s r. o.

Hlavní část práce se věnuje konstrukčnímu návrhu a výpočtu esenciálních součástí převodového ústrojí. Po volbě pohonné jednotky i spojky bylo vytvořeno schéma ústrojí a následně byly zvoleny převodové poměry všech soukolí, z nich byly zvoleny počty zubů jednotlivých ozuben. Pro dané otáčky a výkon byly vypočteny kroutící momenty, přičemž na základě těchto parametrů, byly navrženy ozubená soukolí, tedy kuželové s přímými zuby a dvě různá čelní ozubení se šikmými zuby. Pro ně byl zvolen materiál i úhel sklonu zubů a následně byly vypočteny geometrické parametry soukolí. Z těchto parametrů se vypočítaly síly působící na ozubená kola a na základě nich se provedla pevnostní kontrola ozubení. Následující část výpočtové zprávy byla věnována hřídelům, pro které bylo nakresleno schéma, načež byly určeny síly namáhající hřídel. Poté byl zvolen minimální průměr, který byl pevnostně kontrolován na torzní a ohybové namáhání. Poslední část výpočtové zprávy byla věnována návrhu ložisek ústrojí, návrhu spojů hřídelů, kol a ostatních částí v převodovém ústrojí.

Po výpočtech následovala tvorba 3D modelu celého ústrojí, ze kterého byla následně vytvořena technická dokumentace. Technická dokumentace obsahuje výkres sestavy převodového ústrojí rotavátoru společně se seznamem vyráběných a nakupovaných součástí.

Cíl bakalářské práce, vytyčen v úvodu, byl splněn. Převodové ústrojí je provozu schopné, jednotlivé součásti vyhovují požadovaným bezpečnostem, provozním hodinám a zároveň jsou výrobitelné konvenčními způsoby obrábění a odlévání.

## Seznam použité literatury

- [1] *A Historical View of Weed Control Technology* [online]. UC WEED SCIENCE, 2015 [cit. 2020-06-20].  
Dostupné z: <https://ucanr.edu/blogs/blogcore/postdetail.cfm?postnum=17593>
- [2] *Cliff Howard produces his first cultivators at Moss Vale in 1920s* [online]. Highland News, 2018 [cit 2020-06-21].  
Dostupné z: <https://www.southernhighlandnews.com.au/story/5525126/cliff-howard-produces-his-first-cultivators-at-moss-vale-in-1920s/>
- [3] *Rotační kypřič VARI KF-140* [online]. VARI, 2020 [cit. 2020-06-25]  
Dostupné z: <https://www.vari.cz/produkty/rotavatory/rotacni-kypric-vari-kf-140/cp:41317/>
- [4] *Motor VARI XP-140* [online]. VARI, 2015 [cit. 2020-06-10]  
Dostupné z: <https://www.vari.cz/index.php?cmd=download&fId=20875>
- [5] ŘASA J., ŠVERCL J., *Strojnické tabulky 1 pro školu i praxi*, První vydání, Praha 2004, ISBN 80-7183-312-6
- [6] ŘASA J., ŠVERCL J., *Strojnické tabulky 2 pro školu i praxi*, První vydání, Praha 2007, ISBN 978-80-86960-20-3
- [7] Prof. Ing. Lubomír Pešík, CSc., *Části strojů 1.díl*, Páté doplněné vydání, Liberec 2015, ISBN 978-80-7494-193-2
- [8] Prof. Ing. Lubomír Pešík, CSc., *Části strojů 2.díl*, Páté doplněné vydání, Liberec 2015, ISBN 978-80-7494-184-9
- [9] *Valivá ložiska*, [online], SKF, 2020 [cit. 2020-06-14].  
Dostupné z: <https://www.skf.com/cz/products/rolling-bearings>
- [10] BUREŠ, M., *Návrh a pevnostní výpočet čelních a kuželových ozubených kol* [online]. Liberec 2006  
Dostupné z: [http://www.kst.tul.cz/podklady/casti\\_fs/podklady/Navrh\\_a\\_pevnostni\\_vypocet\\_ozubenych\\_kol.pdf](http://www.kst.tul.cz/podklady/casti_fs/podklady/Navrh_a_pevnostni_vypocet_ozubenych_kol.pdf)

## Seznam příloh

1. Výkres sestavy převodového ústrojí rotavátoru
2. Kusovník 1. část
3. Kusovník 2. část
4. Kusovník 3. část
5. Výkres příruby vstupního hřídele
6. Výkres ozubeného kola se 69 zuby
7. Výkres výstupního hřídele

## Obsah přiloženého CD:

- Text bakalářské práce
  - BP\_Karel\_Kryske.pdf
- 3D model převodového ústrojí
  - KK-BP-01-000 (převodové ústrojí rotavátoru).stp
  - KK-BP-01-000 (převodové ústrojí rotavátoru)\_3D.pdf
- Technická dokumentace
  - KK-BP-01-000 (převodové ústrojí rotavátoru).pdf
  - KK-BP-01-004 (příruba vstupního hřídele).pdf
  - KK-BP-01-020 (ozubené kolo 69 zubů).pdf
  - KK-BP-01-022 (výstupní hřídel).pdf